

ФГБУ «Арктический и антарктический научно-исследовательский институт»

МЦД МЛ



Информационные материалы по мониторингу морского ледяного покрова
Арктики и Южного Океана на основе данных ледового картирования и
пассивного микроволнового зондирования SSMR-SSM/I-SSMIS-AMSR₂

15.07.2024 – 24.07.2024

№ 30(668)

Санкт-Петербург 2024

тел. +7(812)337-3149, эл. почта: yms@aari.aq

Адрес в сети Интернет: <http://wdc.aari.ru/datasets/d0042/>

Содержание

Северное Полушарие	4
Рисунок 1а – Ледовая карта СЛО и повторяемость кромки за текущую неделю (цветовая окраска по общей сплоченности)
Рисунок 1б – Ледовая карта СЛО и повторяемость кромки за текущую неделю (цветовая окраска по преобладающему возрасту)
Рисунок 1в – Положение кромки льда и зон разреженных и сплоченных льдов СЛО за последний доступный срок на основе ледового анализа НЛЦ США	6
Рисунок 2а – Обзорная ледовая карта СЛО за текущую неделю и аналогичные периоды 2007-2019.8
Рисунок 2б – Поля распределения средневзвешенной толщины льда совместной модели морского льда – океана HYCOM/CICE Датского метеорологического института	9
Рисунок 2в – Поля распределения средней за 36-часовые промежутки температуры поверхности морского льда и океана Датского метеорологического института	10
Рисунок 2г – Поле дрейфа морского льда Арктики по расчетам МЦД МЛ ААНИИ, источник данных EUMETSAT OSISAF, AMSR-2	11
Рисунок 2д – Ежедневные оценки сезонного хода объема морского льда СЛО на основе расчетов средневзвешенной толщины льда совместной модели морского льда – океана HYCOM/CICE Датского метеорологического института	12
Рисунок 2е – Аномалии приземной температуры воздуха (2м) и осредненные вектора скорости ветра (10 м)	13
Таблица 1 – Динамика изменения значений ледовитости для акваторий Северной полярной области за текущую неделю по данным наблюдений SSMR-SSM/I-SSMIS	15
Таблица 2 – Медианные значения ледовитости для Северной полярной области и 3-х меридиональных секторов за текущие 30 и 7-дневные интервалы и её аномалии от 2011-2016 гг. и интервалов 2006-2017 гг. и 1978-2017 гг. по данным наблюдений SSMR-SSM/I-SSMIS	15
Таблица 3 – Экстремальные и средние значения ледовитости для Северной полярной области и 3 меридиональных секторов за текущий 7-дневный интервал по данным наблюдений SSMR-SSM/I-SSMIS, алгоритм NASATEAM	15
Рисунок 3а – Ежедневные оценки сезонного хода ледовитости для Северной Полярной Области и её трех меридиональных секторов за период с 26.10.1978 по текущий момент времени по годам ..	18
Рисунок 3б – Ежедневные оценки сезонных изменений ледовитости для Северной Полярной Области с 26.10.1978 по текущий момент времени	19
Рисунок 4 – Медианные распределения сплоченности льда за текущие 7 дневные промежутки (слева) и её разности относительно медианного распределения за те же промежутки за периоды 1979-2020 (центр) и 2009-2020 гг. (справа) на основе расчетов по данным SSMR-SSM/I-SSMIS, алгоритмы NASATEAM	20
Южный океан	20
Рисунок 5 а,б – Ледовая карта Южного Океана за последний доступный срок (окраска по общей сплоченности и преобладающему возрасту)	19,21
Рисунок 5в – Положение кромки льда и зон разреженных и сплоченных льдов Южного Океана за последний доступный срок на основе ледового анализа НЛЦ США	22
Рисунок 5д – Анализ ААНИИ крупных айсбергов Южного океана	22
Таблица 4 – Параметры крупных айсбергов Южного океана на основе анализа ААНИИ	23
Рисунок 7а – Ежедневные оценки сезонного хода ледовитости Южного Океана и его трёх меридиональных секторов за период с 26.10.1978 по текущий момент времени по годам	24
Рисунок 7б – Ежедневные оценки сезонного хода ледовитости Южного Океана и его трёх меридиональных секторов за период с 26.10.1978 по текущий момент времени	25
Рисунок 8 – Медианные распределения общей сплоченности льда за текущие 7 дневные промежутки (слева) и её разности относительно медианного распределения за тот же промежуток за периоды 1979-2020 (центр) и 2009-2020 гг. (справа) на основе расчетов по данным SSMR-SSM/I-SSMIS, алгоритм NASATEAM	25
Таблица 5 – Динамика изменения значений ледовитости для акваторий Южного океана за текущий 7-дневный интервал по данным наблюдений SSMR-SSM/I-SSMIS	26
Таблица 6 – Медианные значения ледовитости для Южного океана и 3 меридиональных секторов за текущие 30 и 7-дневные интервалы и её аномалии от 2011-2016 гг. и интервалов 2007-2017 гг. и 1978-2017 гг. по данным наблюдений SSMR-SSM/I-SSMIS, алгоритм NASATEAM	26
Таблица 7 – Экстремальные и средние значения ледовитости для Южного океана и 3 меридиональных секторов за текущий 7-дневный интервал по данным наблюдений SSMR-SSM/I-SSMIS, алгоритм NASATEAM	26

Земля в целом

Рисунок 9 – Ежедневные сглаженные окном 365 суток значения ледовитости Арктики, Антарктики и Земли в целом с 26.10.1978 на основе SSMR-SSM/I-SSMIS	27
Рисунок 10 – Ежедневные сглаженные окном 365 суток значения приведенной ледовитости Арктики, Антарктики и Земли в целом с 26.10.1978 на основе SSMR-SSM/I-SSMIS	28
Рисунок 11 – Ежедневные сглаженные окном 365 суток значения общей сплоченности Арктики и Антарктики с 26.10.1978 на основе SSMR-SSM/I-SSMIS	
Приложение 1 – Статистические значения ледовитостей по отдельным акваториям Северной Полярной Области и Южного океана	30
Таблица 8 – Средние, аномалии среднего и экстремальные значения ледовитостей для Северной полярной области и её отдельных акваторий за текущие 7-дневный (неделя) и 30-дневный промежутки времени по данным наблюдений SSMR-SSM/I-SSMIS, алгоритм NASATEAM за период 1978-2017 гг.....	30
Таблица 9 – Средние, аномалии среднего и экстремальные значения ледовитостей для Южного океана и его отдельных акваторий за текущие 7-дневный и 30-дневный промежутки времени по данным наблюдений SSMR-SSM/I-SSMIS, алгоритм NASATEAM за период 1978-2017	30
Таблица 10 – Динамика изменения значений ледовитости по сравнению с предыдущей неделей для морей Северной полярной области и Южного океана за текущий 7-дневный (неделя) промежуток времени по данным наблюдений SSMIS	
Характеристика исходного материала и методика расчетов	30
Список источников	40

Северное Полушарие

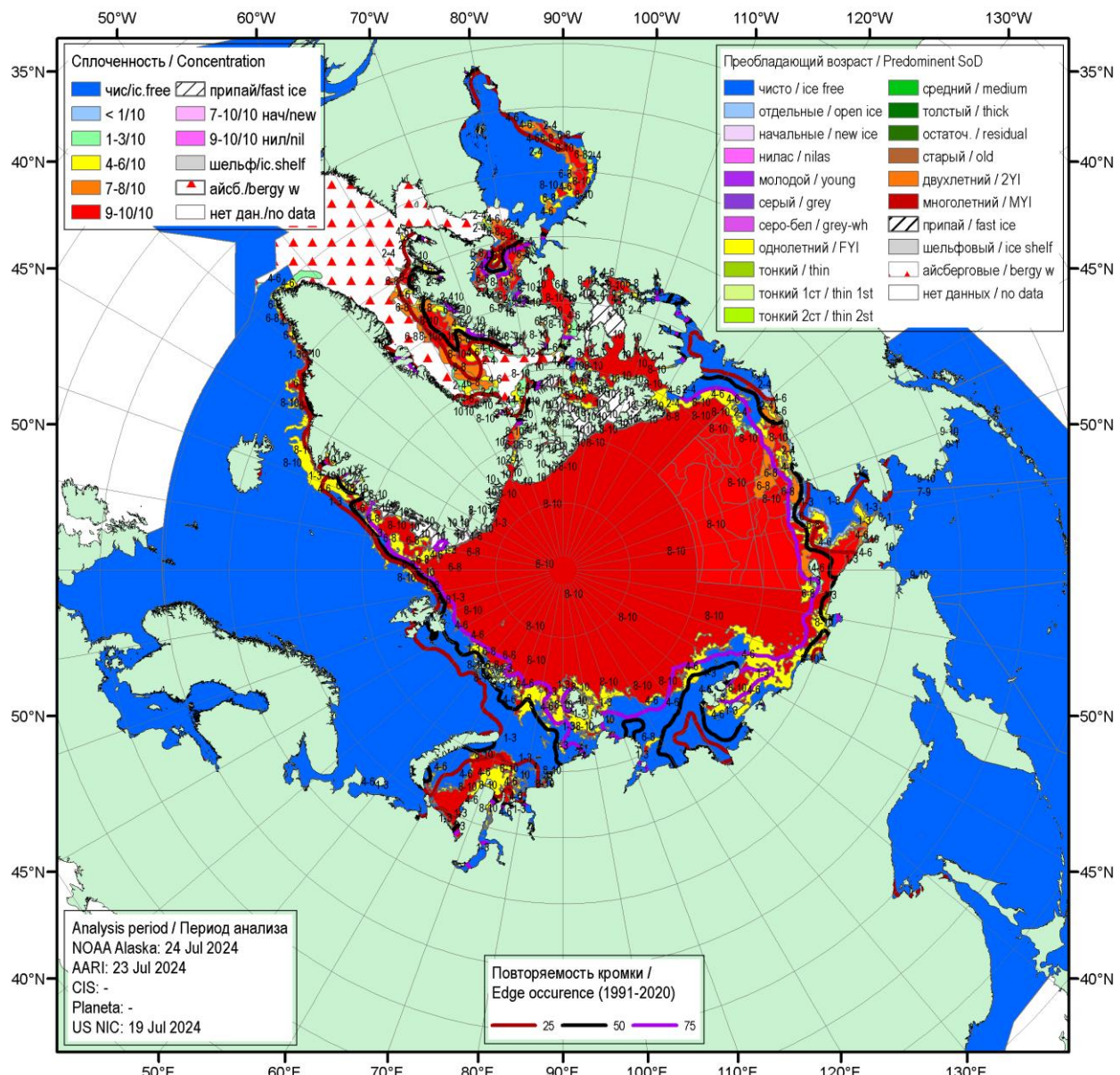


Рисунок 1а – Обзорная ледовая карта СЛО за 19.07 - 24.07.2024 г. (цветовая раскраска по общей сплощенности) на основе ледового анализа ААНИИ (23.07), NOAA Аляска (24.07), НИЦ Планета (-), Национального ледового центра США (19.07) и повторяемость кромки за 21-25.07 за период 1991-2020гг. по наблюдениям SSMR-SSM/I-SSMIS (алгоритм NASATEAM).

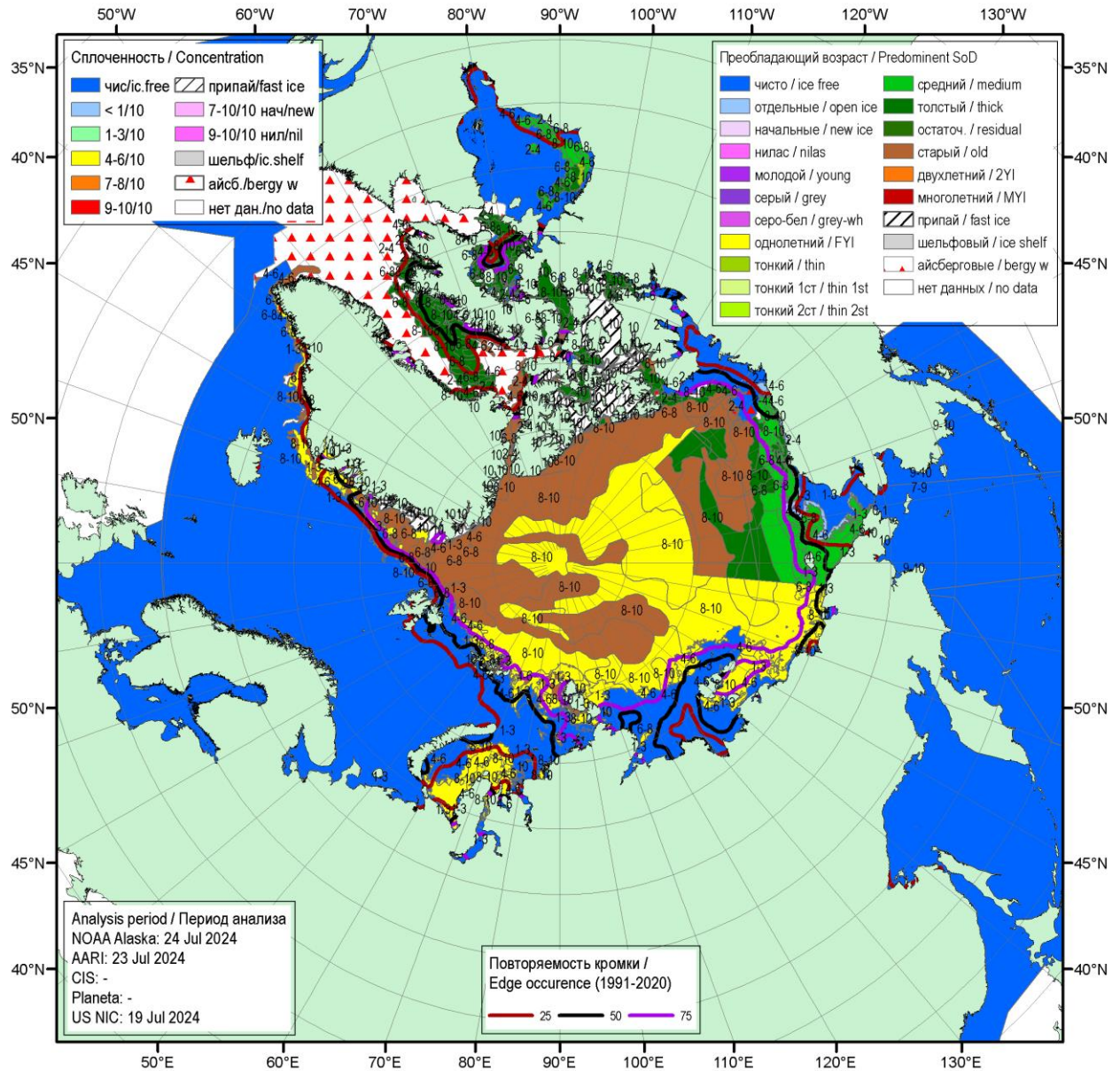


Рисунок 16 – Обзорная ледовая карта СЛО за 19.07 - 24.07.2024 г. (цветовая раскраска по преобладающему возрасту) на основе ледового анализа ААНИИ (23.07), NOAA Аляска (24.07), НИЦ Планета (-), Национального ледового центра США (19.07) и повторяемость кромки за 21-25.07 за период 1991-2020гг. по наблюдениям SSMR-SSM/I-SSMIS (алгоритм NASATEAM).

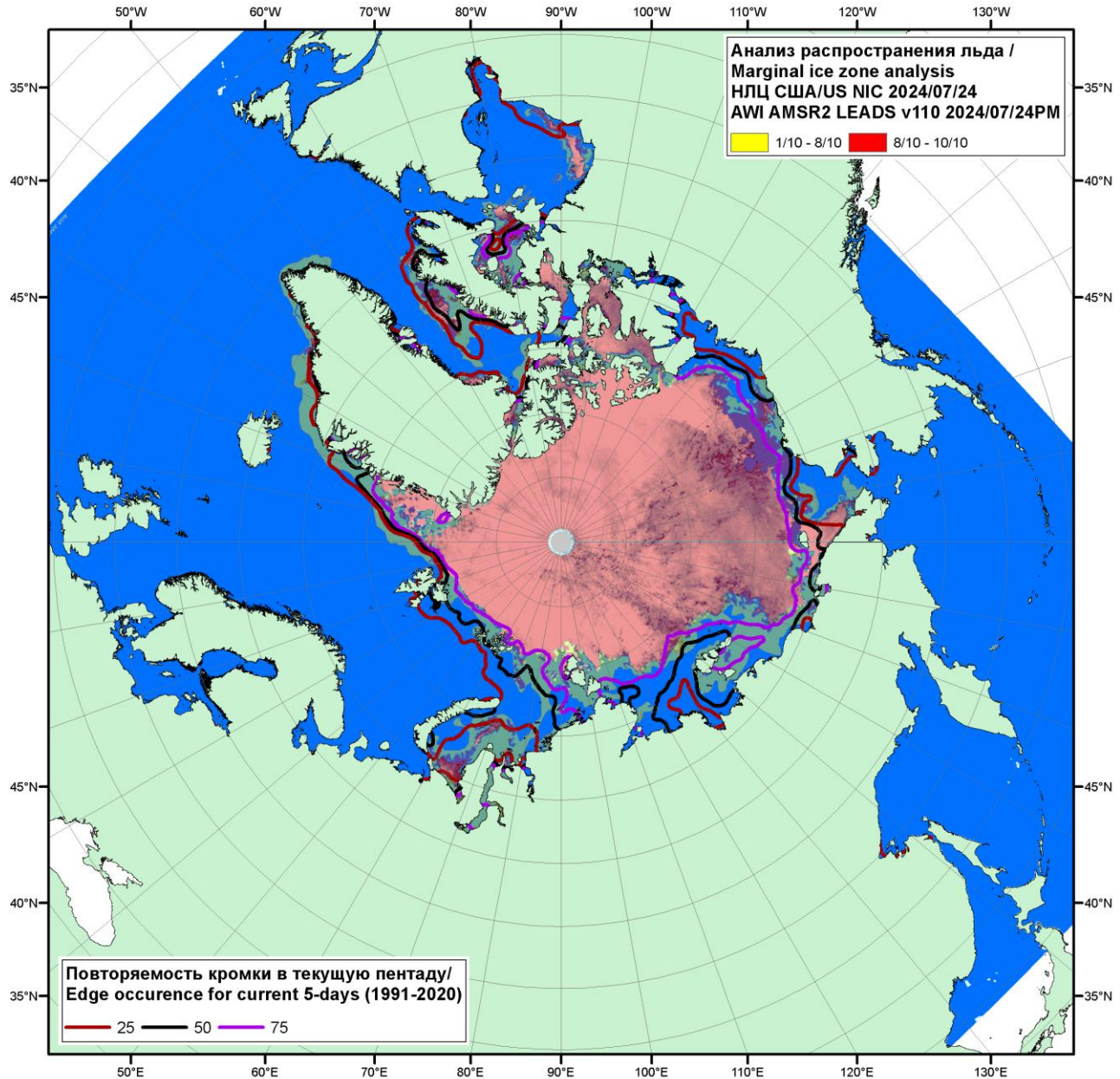


Рисунок 1в – Положение кромки льда и зон разреженных ($<8/10$) и сплоченных ($\geq 8/10$) льдов СЛО за 24.07.2024 г. на основе ледового анализа Национального Ледового Центра США и повторяемость кромки за 21-25.07 за период 1991-2020 гг. по наблюдениям SSMR-SSM/I-SSMIS (алгоритм NASATEAM), совмещенное с положением разрежений на основе данных ИСЗ AMSR2 24.07.2024 (AWI, v110).

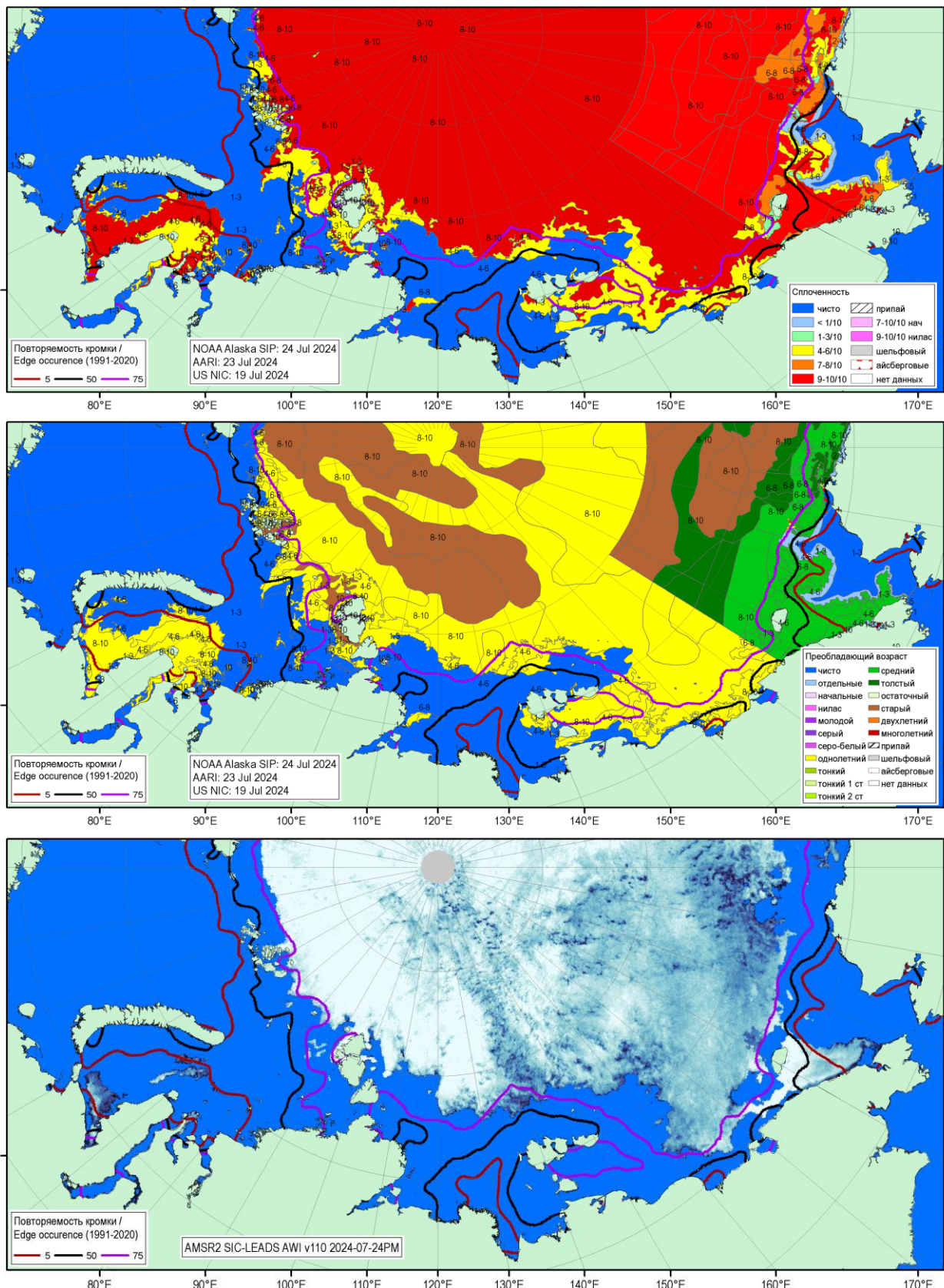


Рисунок 1г – Обзорная ледовая карта СМП за 19.07 - 24.07.2024 г. на основе ледового анализа ААНИИ (23.07), NOAA Аляска (24.07), НИЦ Планета (-), Национального ледового центра США (19.07), повторяемость кромки за 21-25.07 за период 1991-2020гг. по наблюдениям SSMR-SSM/I-SSMIS (алгоритм NASATEAM) и оценка сплошности льда и положения полыней за 24.07.2024 на основе данных AMSR2 (AWI, ver.110).

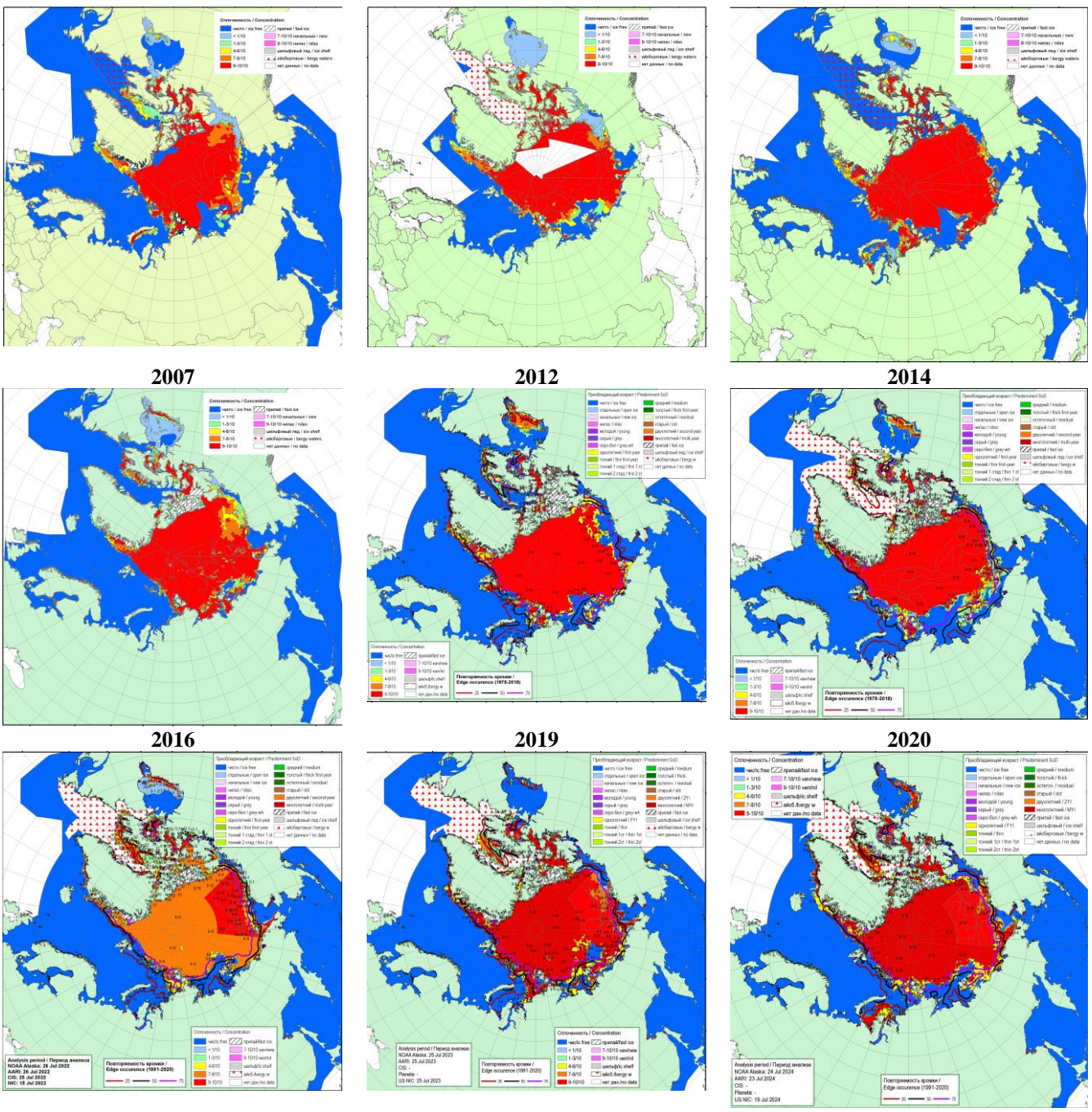


Рисунок 2а – Ледовые условия за 19.07-24.07.2024г. и аналогичные периоды 2007-2023 гг. на основе ледового анализа ААНИИ, НИЦ Планета, Канадской ледовой службы и Национального ледового центра США.

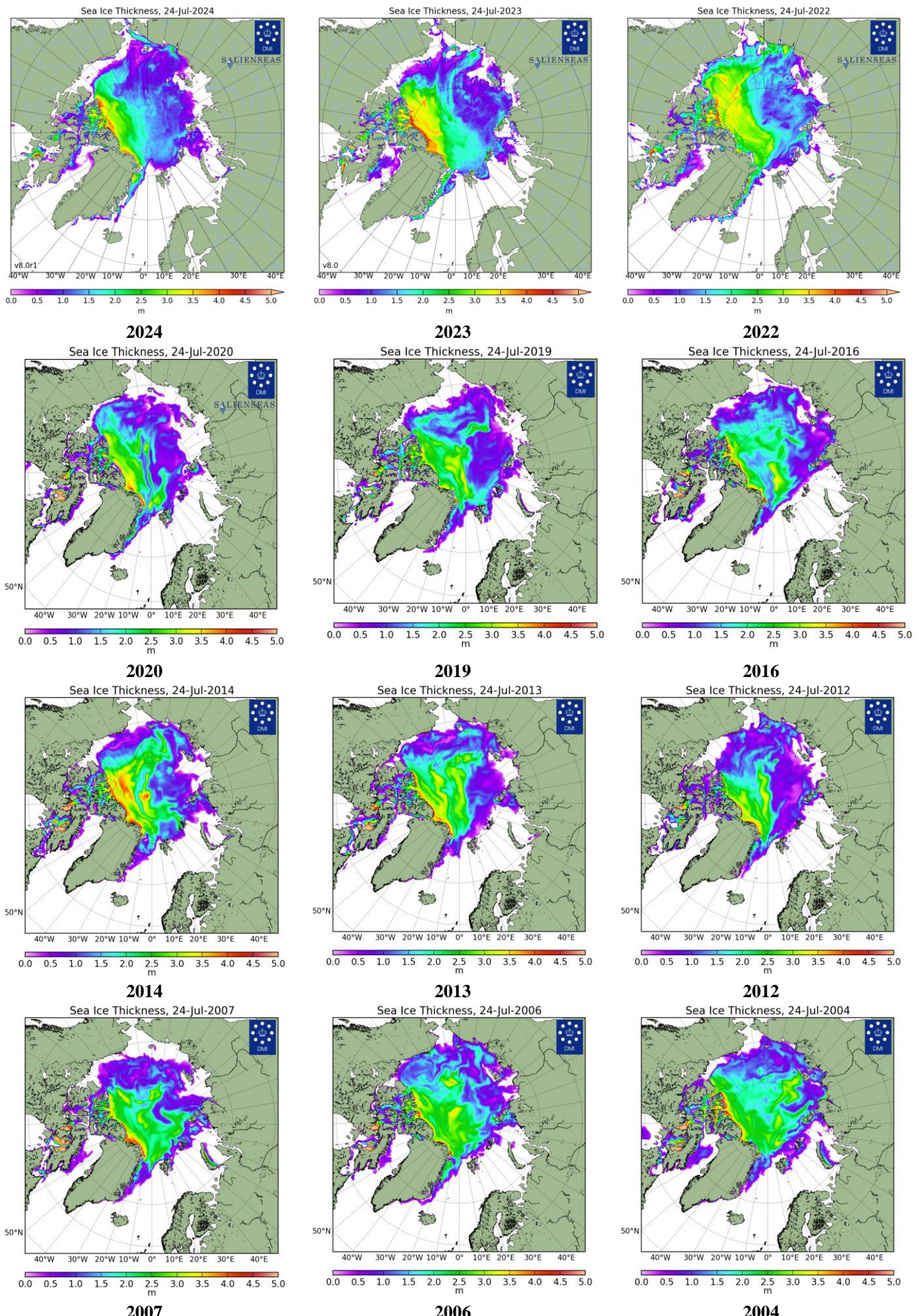


Рисунок 26 – Поля распределения средневзвешенной толщины льда совместной модели морского льда – океана HYCOM/CICE Датского метеорологического института 24.07 за 2004-2024 гг.

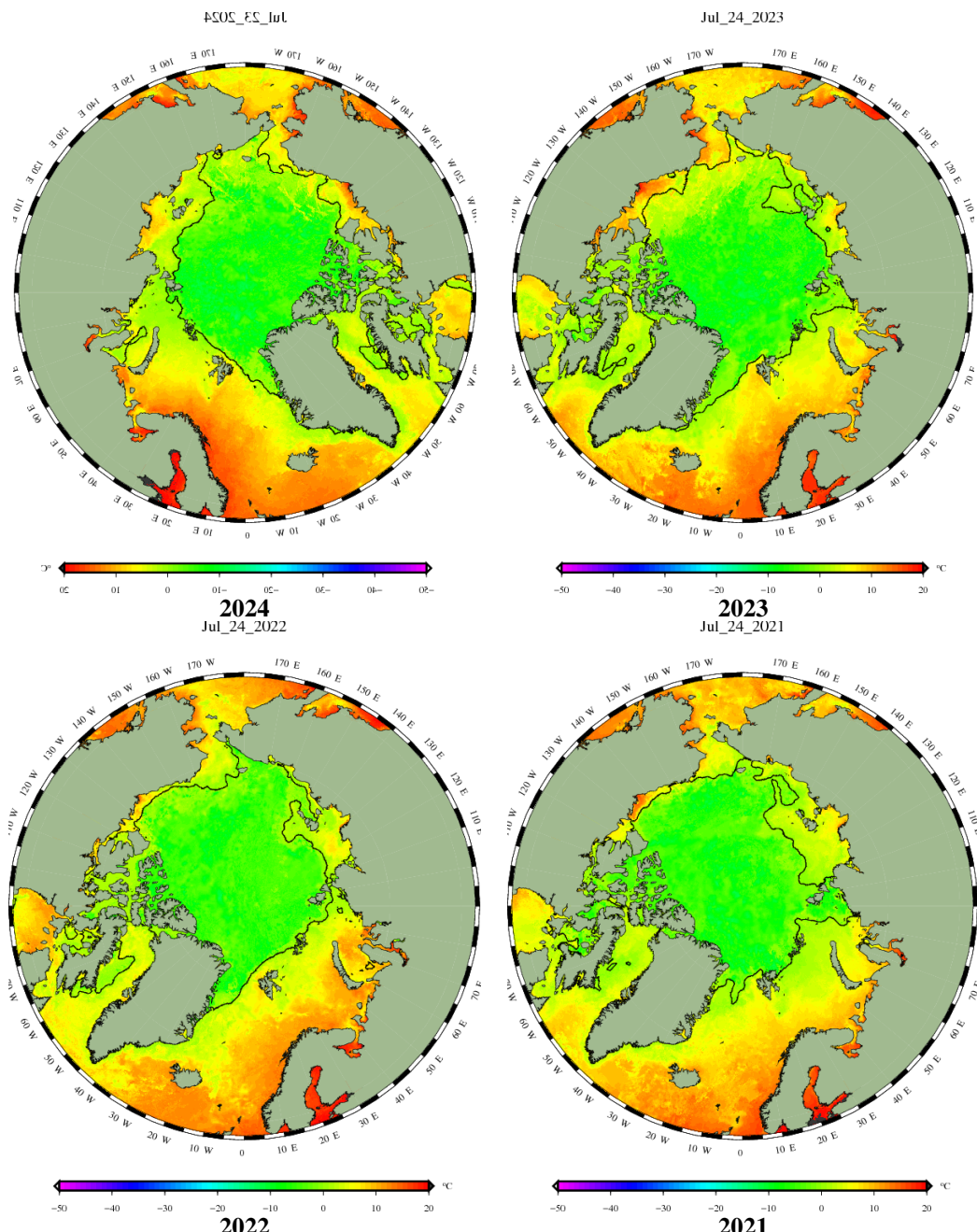


Рисунок 2в – Поля распределения средней за 36-часовые промежутки температуры поверхности морского льда и океана Датского метеорологического института на основе статистической обработки ИК-каналов AVHRR ИСЗ MetOp-A за 22.07-24.07 2021-2024 гг. (<http://polarportal.dk/en/sea-ice-and-icebergs/sea-ice-temperature/#c8099>)

Ice drift speed for 20240716T1200-20240723T1200

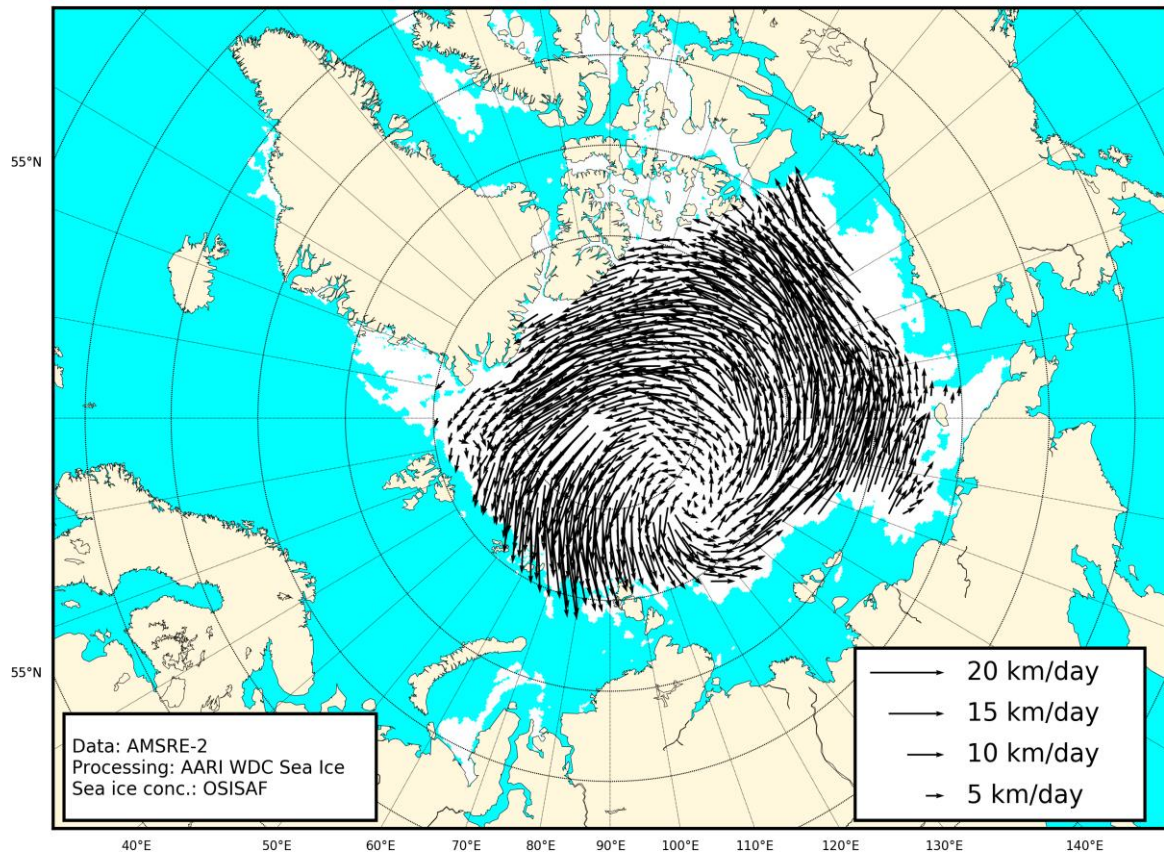


Рисунок 2г – Поле дрейфа морского льда Арктики за последнюю неделю, источник OSI SAF EUMETSAT.

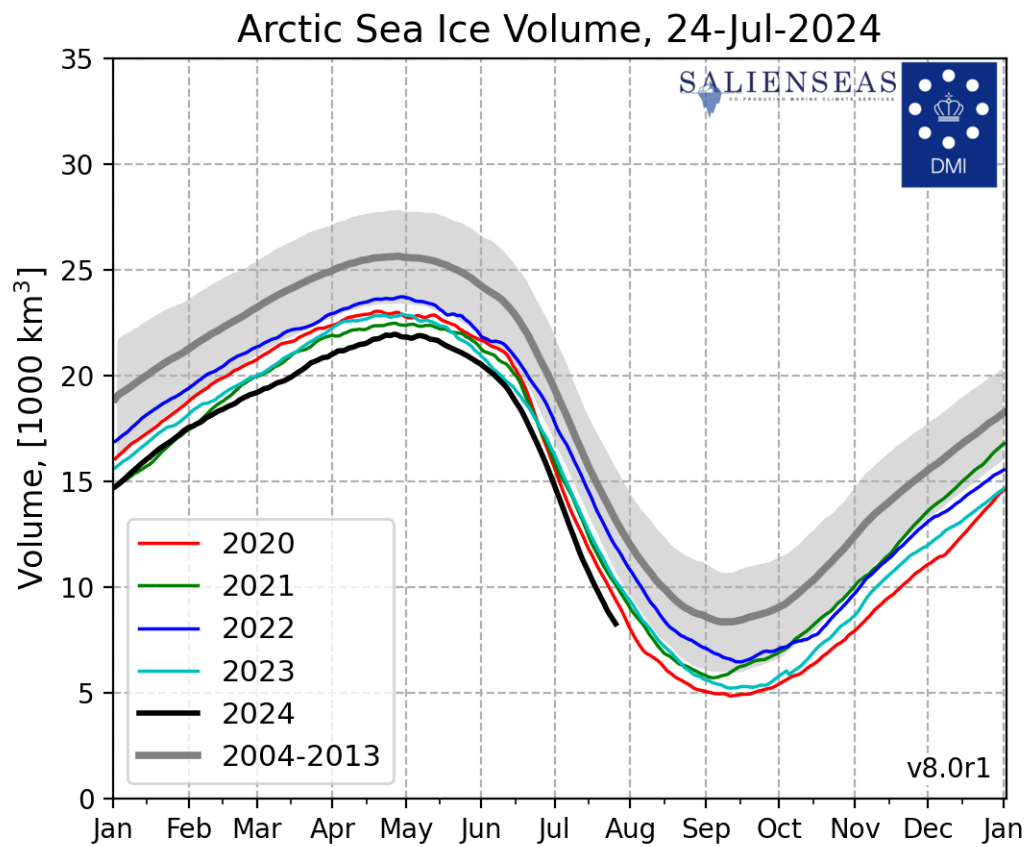
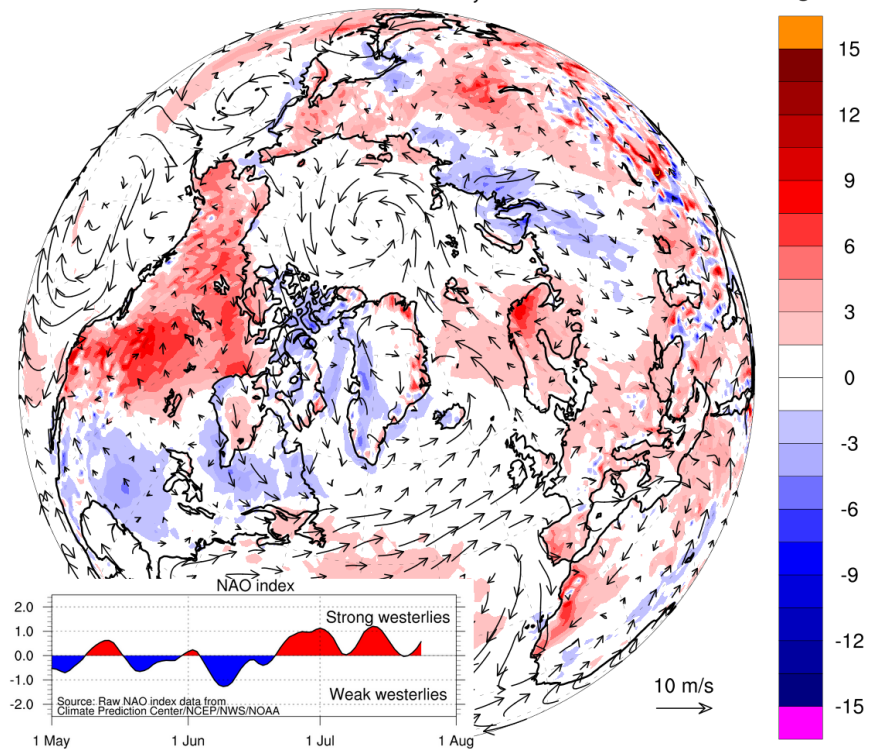


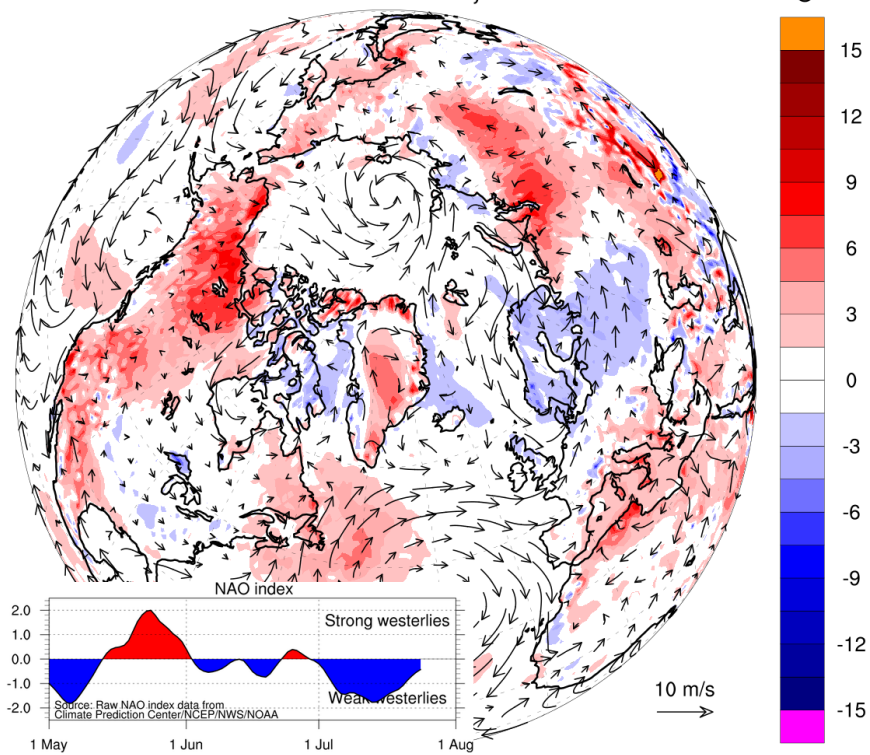
Рисунок 2д – Ежедневные оценки сезонного хода объема морского льда СЛО на основе расчетов средневзвешенной толщины льда совместной модели морского льда – океана HYCOM/CICE Датского метеорологического института с 28.02.2004 по 24.07.2024 гг.

Jul 20 to Jul 24, 2024



polarportal.dk

Jul 20 to Jul 24, 2023



polarportal.dk

Рисунок 2е – Аномалии приземной температуры воздуха (2м) и осредненные вектора скорости ветра (10 м) за 20.07 - 24.07 в 2023-2024 гг. относительно периода 2004-2013 гг. (<http://polarportal.dk>)

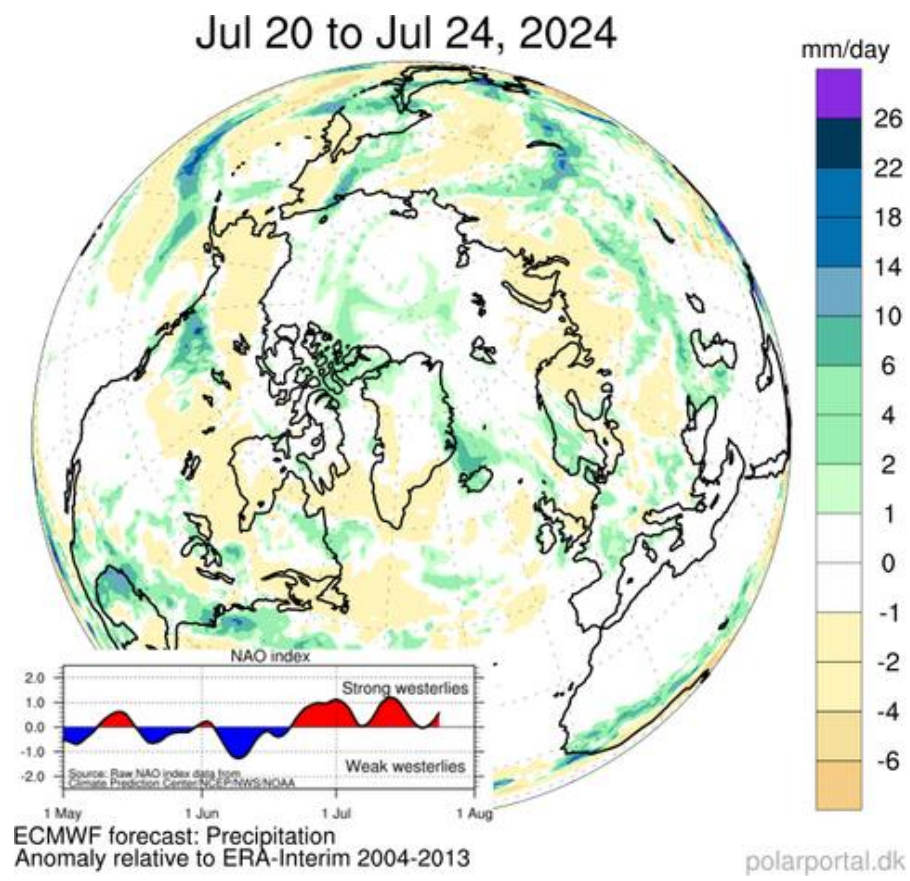


Рисунок 2ж – Аномалии приземной суммы осадков 20.07 – 24.07.2024 гг. относительно периода 2004-2013 гг. (<http://polarportal.dk>)

Таблица 1 – Динамика изменения значений ледовитости по сравнению с предыдущей неделей для морей Северной полярной области 15.07 – 21.07.2024 г. по данным наблюдений SSMR-SSM/I-SMIS

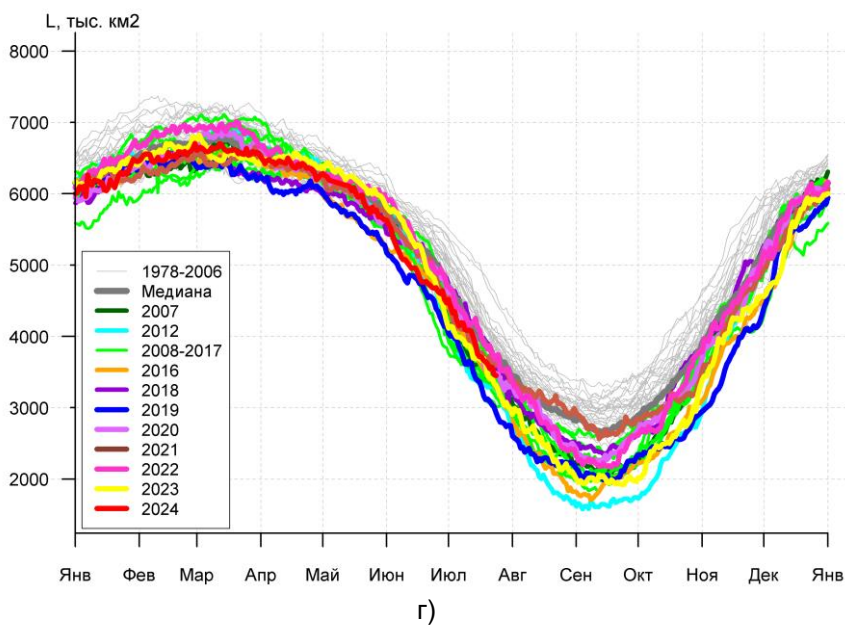
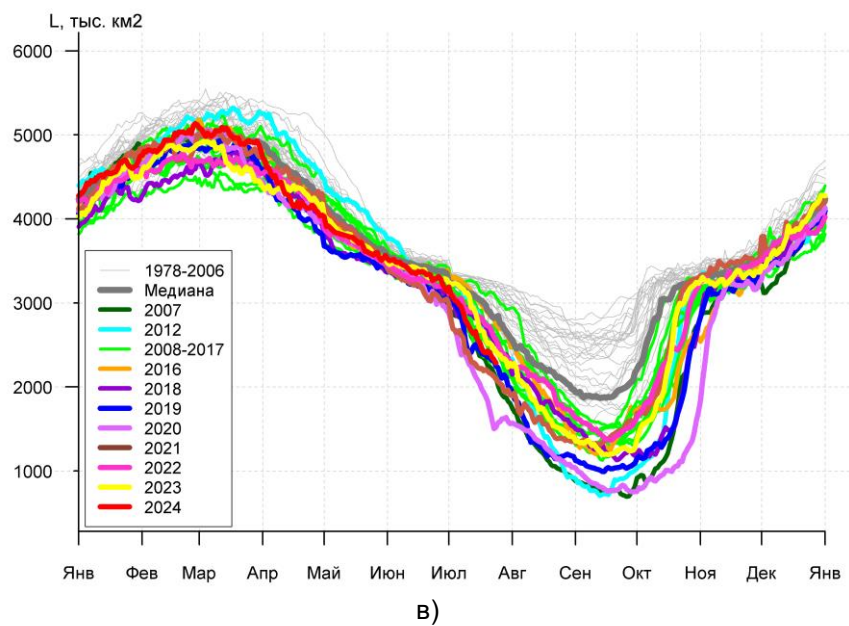
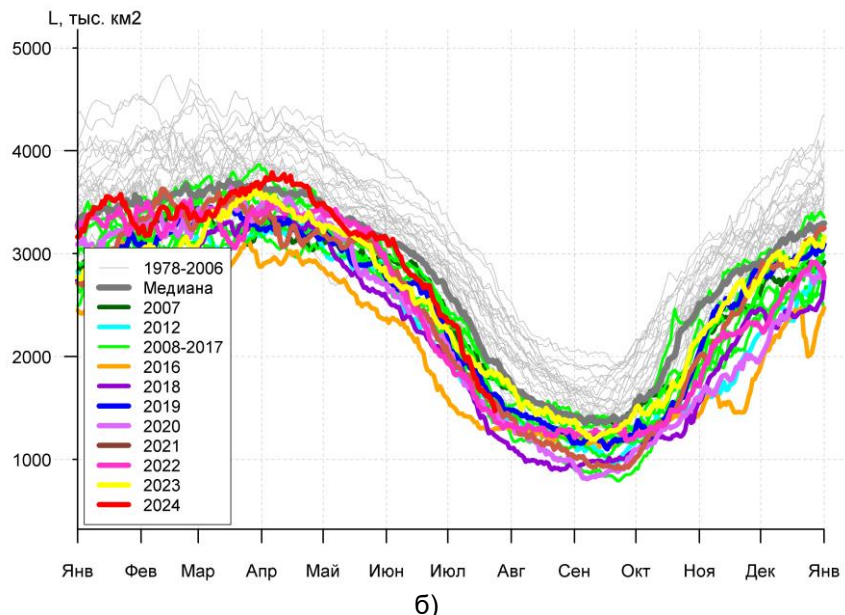
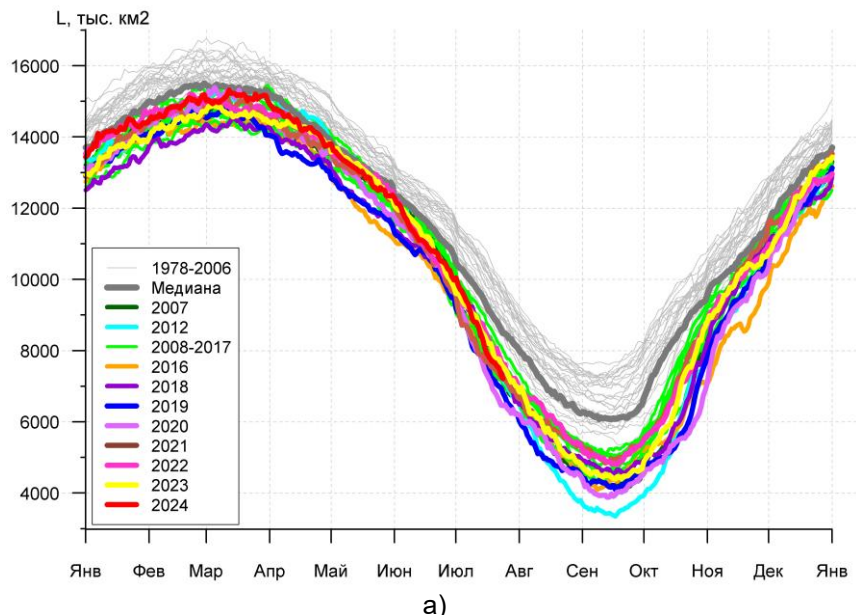
Регион	Северная полярная область	Сектор 45°W-95°E (Гренландское - Карское моря)	Сектор 95°E-170°W (моря Лаптевых - Чукотское, Берингово, Охотское)	Сектор 170°W-45°W (море Бофорта и Канадская Арктика)	Северный Ледовитый океан	Моря СМП (моря Карское-Чукотское)
Разность	-937.6	-273.6	-270.5	-393.5	-838.6	-439.8
тыс.кв.км/сут.	-133.9	-39.1	-38.6	-56.2	-119.8	-62.8

Таблица 2 - Медианные значения ледовитости для Северной полярной области, 3-х меридиональных секторов и моря СМП за текущие 30 и 7-дневные интервалы, и её аномалии от 2019-2023 гг. и интервалов 2014-2024 гг. и 1978-2024 гг. по данным наблюдений SSMR-SSM/I-SSMIS, алгоритмы NASATEAM

Северная полярная область							
Месяц	S, тыс. км2	Аномалии, тыс км2/%					
		2019 г	2020 г	2021 г	2022 г	2023 г	2014-2024гг
22.06-21.07	9221.0	595.4	533.5	456.0	-37.5	-9.3	216.0
		6.9	6.1	5.2	-0.4	-0.1	2.4
15-21.07	7794.6	436.8	703.4	202.3	-449.7	-299.3	-7.8
		5.9	9.9	2.7	-5.5	-3.7	-0.1
Сектор 45°W-95°E (Гренландское - Карское моря)							
Месяц	S, тыс. км2	Аномалии, тыс км2/%					
		2019 г	2020 г	2021 г	2022 г	2023 г	2014-2024гг
22.06-21.07	2125.5	73.8	244.0	205.6	313.0	13.5	156.1
		3.6	13.0	10.7	17.3	0.6	7.9
15-21.07	1669.6	-73.0	137.1	13.9	159.9	-194.3	23.1
		-4.2	8.9	0.8	10.6	-10.4	1.4
Сектор 95°E-170°W (моря Лаптевых - Чукотское, Берингово, Охотское)							
Месяц	S, тыс. км2	Аномалии, тыс км2/%					
		2019 г	2020 г	2021 г	2022 г	2023 г	2014-2024гг
22.06-21.07	2899.6	137.5	396.6	274.8	-110.3	-159.9	12.9
		5.0	15.8	10.5	-3.7	-5.2	0.4
15-21.07	2459.7	62.3	533.4	256.2	-320.9	-167.6	-63.7
		2.6	27.7	11.6	-11.5	-6.4	-2.5
Сектор 170°W-45°W (море Бофорта и Канадская Арктика)							
Месяц	S, тыс. км2	Аномалии, тыс км2/%					
		2019 г	2020 г	2021 г	2022 г	2023 г	2014-2024гг
22.06-21.07	4196.0	384.0	-107.1	-24.4	-240.2	137.1	47.0
		10.1	-2.5	-0.6	-5.4	3.4	1.1
15-21.07	3665.3	447.5	32.8	-67.7	-288.7	62.7	33.4
		13.9	0.9	-1.8	-7.3	1.7	0.9
Северный Ледовитый океан							
Месяц	S, тыс. км2	Аномалии, тыс км2/%					
		2019 г	2020 г	2021 г	2022 г	2023 г	2014-2024гг
22.06-21.07	8631.5	274.2	453.4	311.4	-36.8	-83.6	66.1
		3.3	5.5	3.7	-0.4	-1.0	0.8
15-21.07	7383.9	174.0	654.4	121.7	-409.4	-328.4	-107.2
		2.4	9.7	1.7	-5.3	-4.3	-1.4
Моря СМП (моря Карское-Чукотское)							
Месяц	S, тыс. км2	Аномалии, тыс км2/%					
		2019 г	2020 г	2021 г	2022 г	2023 г	2014-2024гг
22.06-21.07	2125.2	421.6	747.0	414.1	140.9	-75.8	193.5
		24.8	54.2	24.2	7.1	-3.4	10.0
15-21.07	1440.4	268.2	730.4	262.3	-167.6	-184.1	41.4
		22.9	102.9	22.3	-10.4	-11.3	3.0

Таблица 3 – Экстремальные и средние значения ледовитости для Северной полярной области, 3 меридиональных секторов и моря СМП за текущий 7-дневный интервал по данным наблюдений SSMR-SSM/I-SSMIS, алгоритмы

Северная полярная область				
Месяц	Минимальное знач.	Максимальное знач.	Среднее знач.	Медиана
15-21.07	6748.7 21.07.2020	10868.3 15.07.1983	8902.9	9047.7
Сектор 45°W-95°E (Гренландское - Карское моря)				
Месяц	Минимальное знач.	Максимальное знач.	Среднее знач.	Медиана
15-21.07	1255.7 21.07.2018	3040.2 15.07.1981	2106.0	2068.0
Сектор 95°E-170°W (моря Лаптевых - Чукотское, Берингово, Охотское)				
Месяц	Минимальное знач.	Максимальное знач.	Среднее знач.	Медиана
15-21.07	1732.5 21.07.2020	3312.6 15.07.1987	2897.6	2986.3
Сектор 170°W-45°W (море Бофорта и Канадская Арктика)				
Месяц	Минимальное знач.	Максимальное знач.	Среднее знач.	Медиана
15-21.07	3076.8 20.07.2011	5034.2 15.07.1983	3899.2	3898.4
Северный Ледовитый океан				
Месяц	Минимальное знач.	Максимальное знач.	Среднее знач.	Медиана
15-21.07	6403.9 21.07.2020	10383.6 15.07.1983	8606.8	8747.4
Моря СМП (моря Карское-Чукотское)				
Месяц	Минимальное знач.	Максимальное знач.	Среднее знач.	Медиана
15-21.07	535.3 21.07.2020	2818.0 15.07.1979	2029.7	2101.1



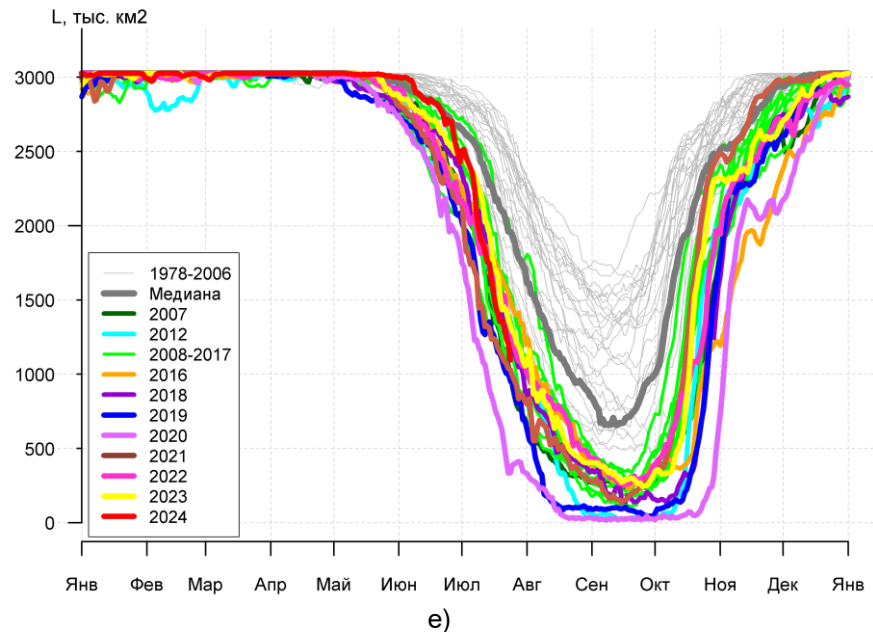
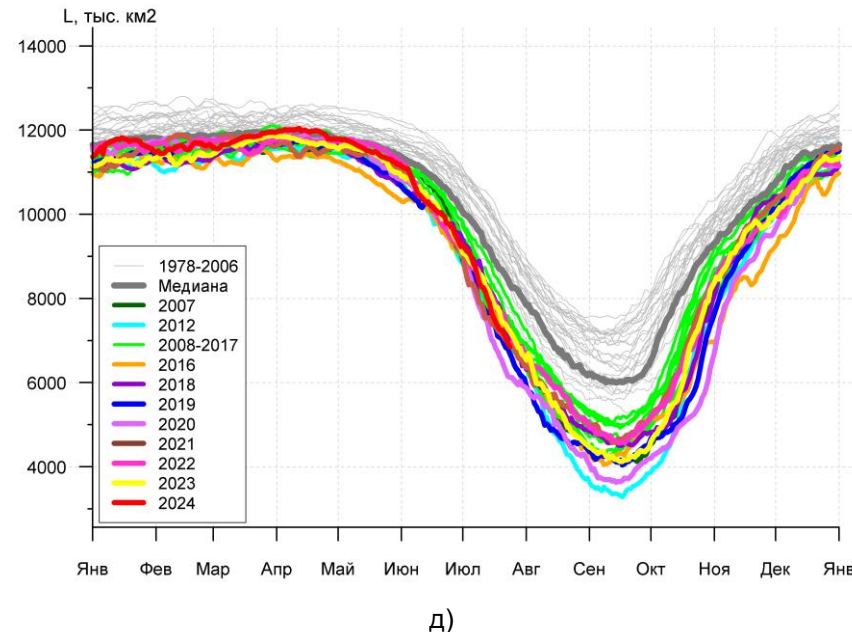


Рисунок За – Ежедневные оценки сезонного хода ледовитости для Северной Полярной Области и трех меридиональных секторов за период 26.10.1978 – 23.07.2024 по годам на основе расчетов по данным SSMR-SSMI-SSMIS, алгоритмы NASATEAM: а) Северная полярная область, б) сектор 45°W-95°E (Гренландское – Карское моря), в) сектор 95°E-170°W (моря Лаптевых – Чукотское и Берингово, Охотское), г) сектор 170°W-45°W (море Бофорта и Канадская Арктика), д) Северный Ледовитый океан, е) Северный морской путь (Карское - Чукотское моря).

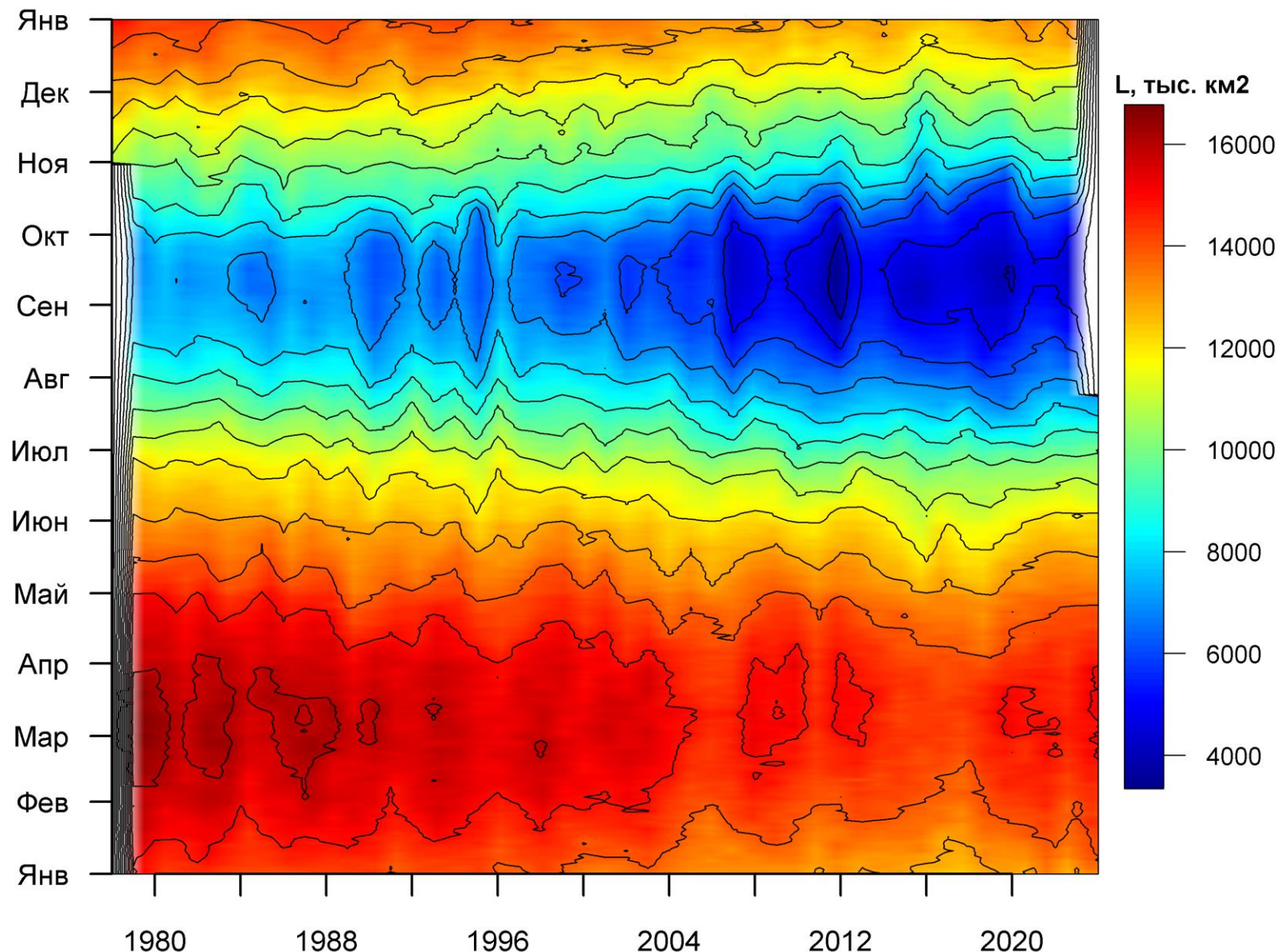


Рисунок 3б – Ежедневные оценки сезонных изменений ледовитости для Северной Полярной Области за период 26.10.1978 – 23.07.2024 на основе расчетов по данным SSMR-SSM/I-SSMIS, алгоритм NASATEAM.

Южный океан

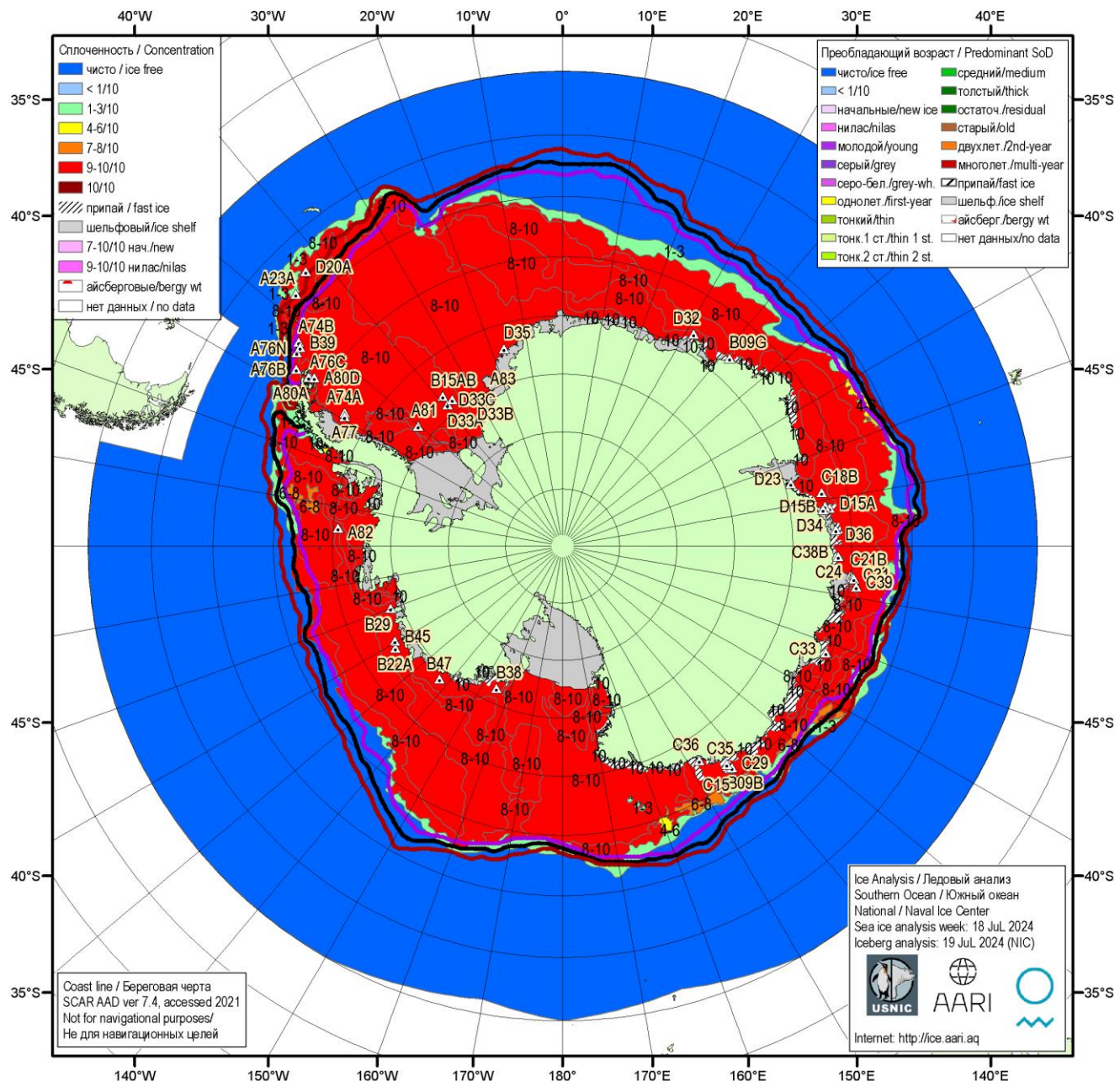


Рисунок 5а – Ледовая карта Южного океана (цветовая окраска по общей сплошности) и расположение крупных айсбергов на основе ледового анализа за 18.07.2024 в рамках проекта совместного ледового картирования Южного океана ААНИИ, НЛЦ США и НМИ и повторяемость кромки за 15-20.07 за период 1991-2020 гг. по наблюдениям SSMR-SSM/I-SSMIS (алгоритм NASATEAM)

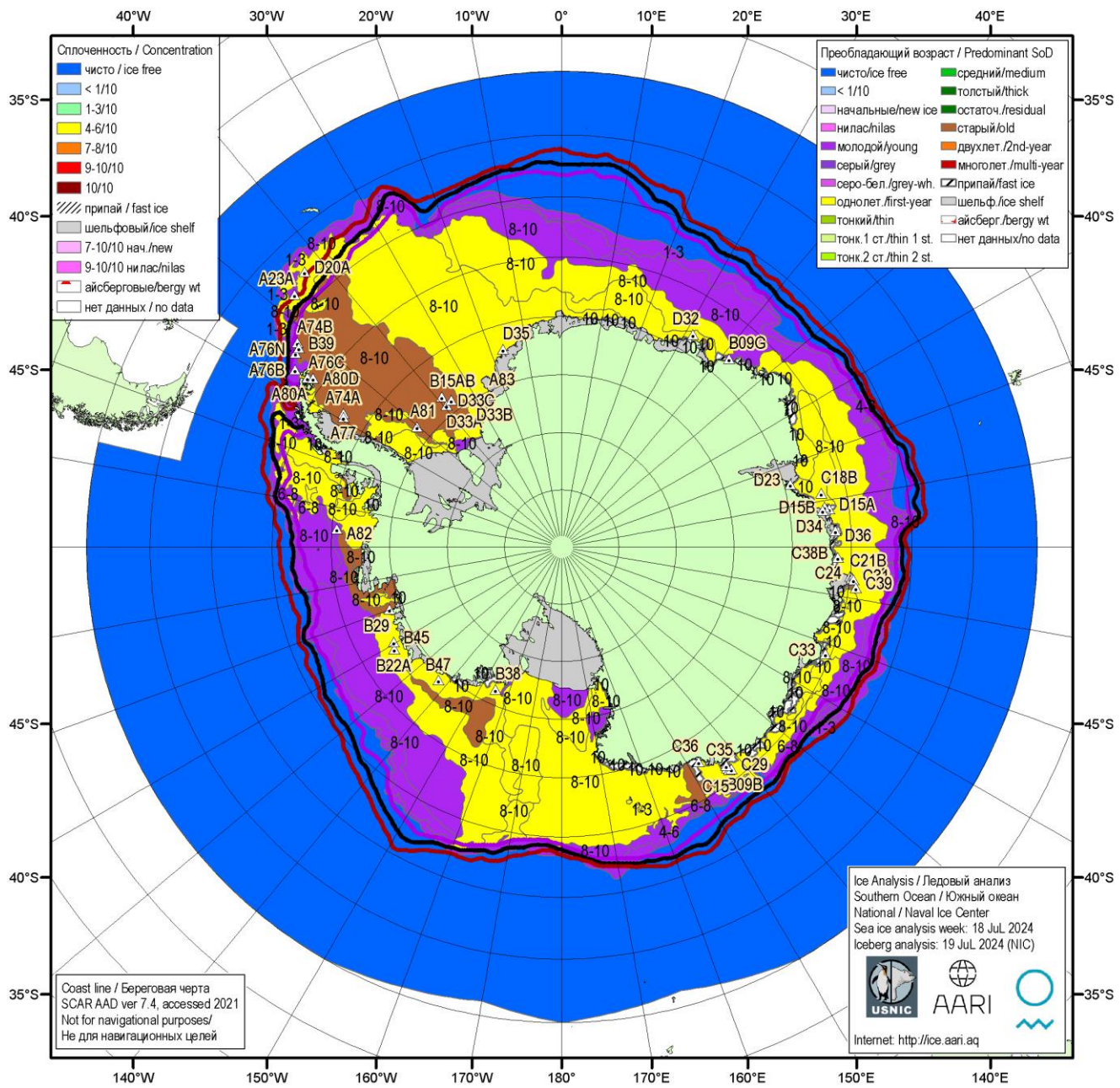


Рисунок 5в – Ледовая карта Южного океана (цветовая окраска по возрасту) и расположение крупных айсбергов на основе ледового анализа за 19.07.2024 в рамках проекта совместного ледового картирования Южного океана ААНИИ, НЛЦ США и НМИ и повторяемость кромки за 15-20.07 за период 1991-2020 гг. по наблюдениям SSMR-SSM/I-SSMIS (алгоритм NASATEAM)

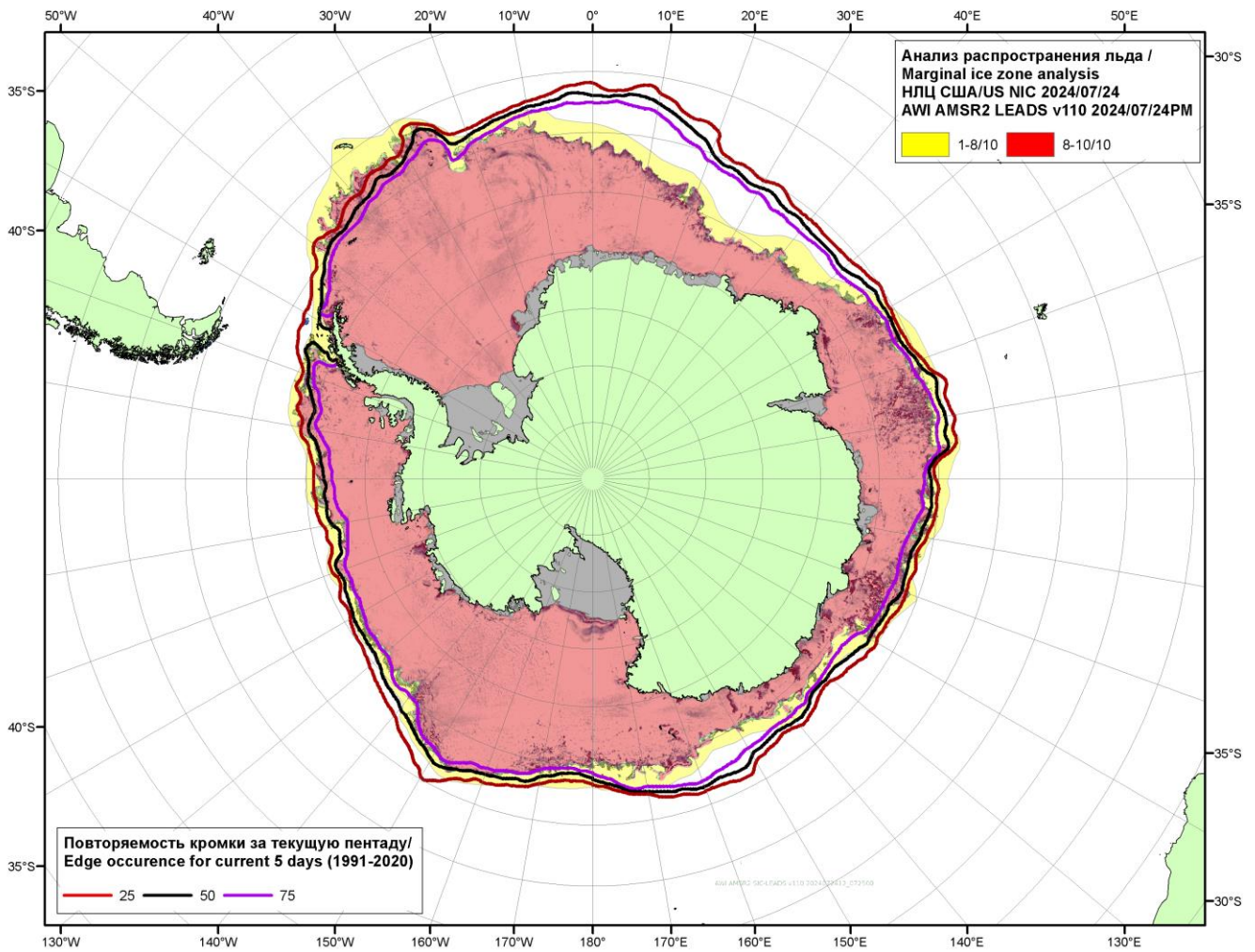
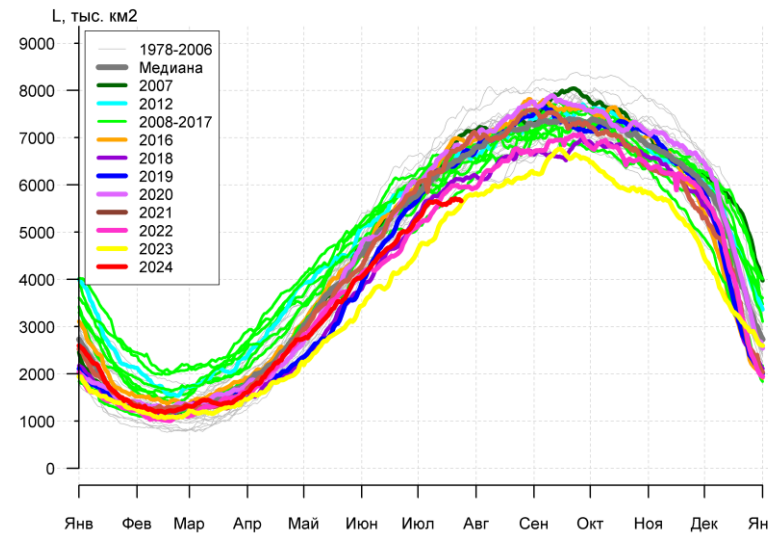
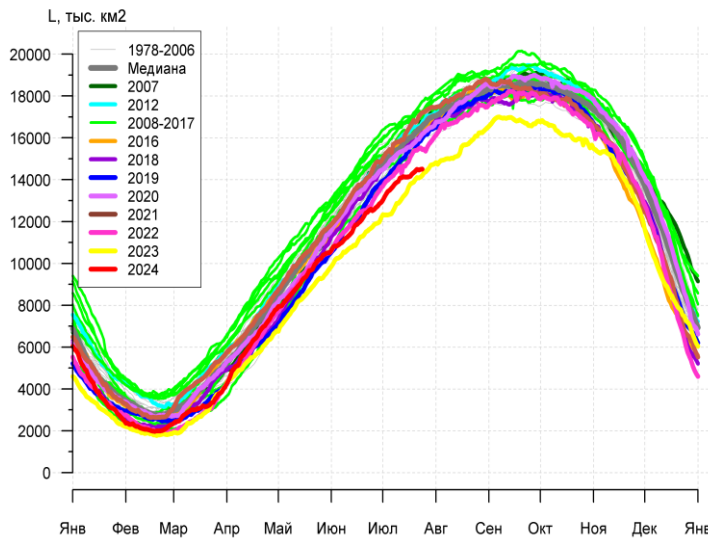


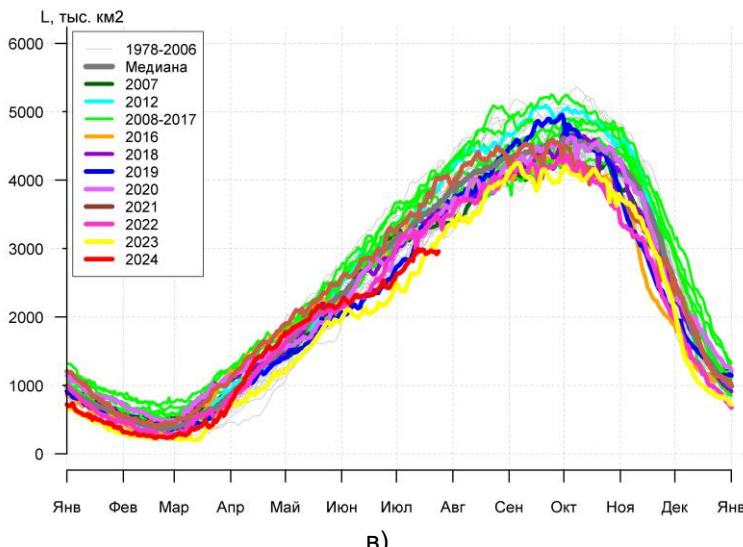
Рисунок 5в – Положение кромки льда и зон разреженных ($<8/10$) и сплоченных ($\geq8/10$) льдов Южного океана за 24.07.2024 г. на основе ледового анализа Национального Ледового Центра США и повторяемость кромки за 21-25.07 за период 1991-2020 гг. по наблюдениям SSMR-SSM/I-SSMIS (алгоритм NASATEAM), совмещенное с положением разрежений на основе данных ИСЗ AMSR2 за 24.07.2024 (AWI, v110).

Таблица 4 – Линейные размеры крупных айсбергов Южного океана на основе анализа ААНИИ за 25.02.2021 / Table 4 – Southern Ocean tabular icebergs linear dimensions based on AARI analysis for 2021-02-25

Имя/ Name	Длина/ Length км/км	Ширина/ Width км/км	Площадь/ Area кв.км/sq.km	Имя/ Name	Длина/ Length км/км	Ширина/ Width км/км	Площадь/ Area кв.км/sq.km
A23A	74	63	3996	C36	41	28	147
D15A	94	44	3587	D27	15	9	147
B22A	70	44	3192	A63	20	6	144
D28	54	35	1743	A68K	19	4	142
D15B	61	22	1185	B45	13	11	141
A68A	67	24	894	B42	22	7	138
B09B	44	15	603	A68I	35	6	122
D20A	35	17	455	B46	19	7	111
A64	24	17	346	B15AB	20	7	109
C15	22	15	341	B29	20	9	108
A68E	48	13	334	B39	15	7	105
C21B	20	15	317	A68P	48	11	99
A68M	54	19	287	A68N	48	11	97
A69A	19	17	264	C30	17	6	93
C18B	35	7	243	C33	15	7	88
B50	28	11	232	B38	11	7	87
B09I	22	11	211	C24	20	4	85
B09G	20	13	200	C31	17	6	84
B28	17	11	196	C29	9	9	83
B47	22	9	182	B37	15	6	82
A73	17	9	181	A71	15	6	72
A72	20	7	172	B40	11	9	71
A69B	19	13	169	A68G	48	11	64
D23	15	11	164	B49	19	9	60
A70	15	9	159	A68J	24	4	56
D26	35	4	149	A68O	48	11	55
D21B	19	7	147	A68H	20	9	31
C35	13	9	147	A68P	24	4	11

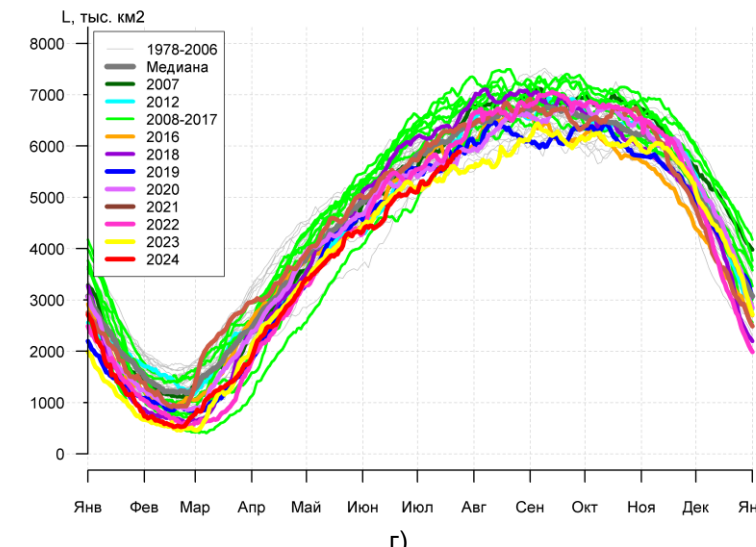


а)



в)

б)



г)

Рисунок 7а – Ежедневные оценки сезонного хода ледовитости Южного Океана и меридиональных секторов за период 26.10.1978 – 23.07.2024 по годам на основе расчетов по данным SSMR-SSM/I-SSMIS, алгоритм NASATEAM: а) Южный Океан, б) Атлантический сектор (60°W - 30°E , море Уэдделла), в) Индоокеанский сектор (30°E - 150°E , моря Космонавтов, Содружества, Моусона), г) Тихоокеанский сектор (150°E - 60°W , моря Росса, Беллинсгаузена)

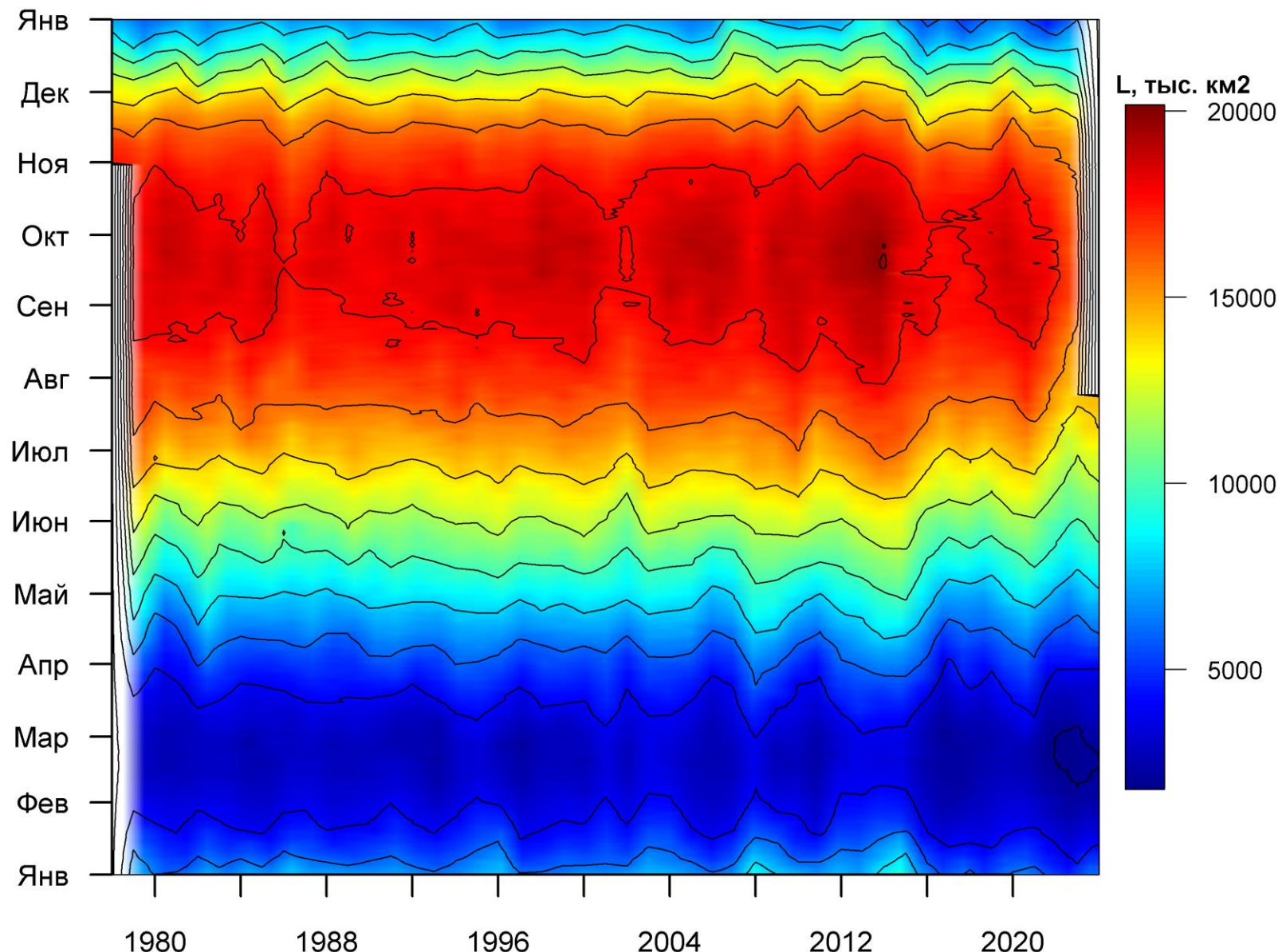


Рисунок 7б – Ежедневные оценки сезонных изменений ледовитости для Южного океана за период 26.10.1978 - 23.07.2024 на основе расчетов по данным SSMR-SSM/I-SSMIS, алгоритм NASATEAM.

Таблица 5 – Динамика изменения значений ледовитости по сравнению с предыдущей неделей для морей Южного океана за 15.07 - 21.07.2024 по данным наблюдений SSMR-SSM/I-SSMIS

Регион	Южный Океан	Атлантический сектор	Индоокеанский сектор	Тихоокеанский сектор
Разность	271.8	23.1	51.2	197.5
тыс.кв.км/сут.	38.8	3.3	7.3	28.2

Таблица 6 - Медианные значения ледовитости для Южного океана и 3 меридиональных секторов за текущие 30 и 7-дневные интервалы и её аномалии от 2019-2023 гг. и интервалов 2014-2024 гг. и 1978-2024 гг. по данным наблюдений SSMR-SSM/I

Месяц	S, тыс. км2	Аномалии, тыс км2/%						
		2019 г	2020 г	2021 г	2022 г	2023 г	2014-2024гг	1978-2024гг
22.06-21.07	13519.8	-926.4	-1391.5	-2012.6	-591.7	833.1	-1244.6	-1617.9
		-6.4	-9.3	-13.0	-4.2	6.6	-8.4	-10.7
15-21.07	14277.3	-1259.1	-1400.7	-2354.4	-885.4	465.9	-1374.5	-1760.9
		-8.1	-8.9	-14.2	-5.8	3.4	-8.8	-11.0

Атлантический сектор (60°W-30°E, море Уэдделла)

Месяц	S, тыс. км2	Аномалии, тыс км2/%						
		2019 г	2020 г	2021 г	2022 г	2023 г	2014-2024гг	1978-2024гг
22.06-21.07	5429.0	-541.6	-864.4	-722.8	52.4	596.3	-436.9	-573.1
		-9.1	-13.7	-11.7	1.0	12.3	-7.4	-9.5
15-21.07	5646.1	-744.6	-1078.9	-971.4	-276.9	266.6	-613.2	-738.3
		-11.7	-16.0	-14.7	-4.7	5.0	-9.8	-11.6

Индоокеанский сектор (30°E-150°E, моря Космонавтов, Содружества, Моусона)

Месяц	S, тыс. км2	Аномалии, тыс км2/%						
		2019 г	2020 г	2021 г	2022 г	2023 г	2014-2024гг	1978-2024гг
22.06-21.07	2740.1	-160.5	-333.9	-679.0	-340.5	196.9	-382.6	-504.7
		-5.5	-10.9	-19.9	-11.1	7.7	-12.3	-15.6
15-21.07	2958.1	-392.6	-338.0	-770.6	-372.7	21.4	-439.1	-566.3
		-11.7	-10.3	-20.7	-11.2	0.7	-12.9	-16.1

Тихоокеанский сектор (150°E-60°W, моря Росса, Беллинсгаузена)

Месяц	S, тыс. км2	Аномалии, тыс км2/%						
		2019 г	2020 г	2021 г	2022 г	2023 г	2014-2024гг	1978-2024гг
22.06-21.07	5350.8	-224.3	-193.1	-610.8	-303.5	39.8	-425.1	-540.1
		-4.0	-3.5	-10.2	-5.4	0.8	-7.4	-9.2
15-21.07	5673.1	-121.9	16.1	-612.3	-235.8	177.9	-322.3	-456.3
		-2.1	0.3	-9.7	-4.0	3.2	-5.4	-7.4

Таблица 7 – Экстремальные значения ледовитости для Южного океана и 3 меридиональных секторов за текущий 7-дневный интервал по Южный Океан

Южный Океан

Месяц	Минимальное знач.	Максимальное знач.	Среднее знач.	Медиана
15-21.07	13413.4 15.07.2023	17374.3 21.07.2014	16038.2	16047.7

Атлантический сектор (60°W-30°E, море Уэдделла)

Месяц	Минимальное знач.	Максимальное знач.	Среднее знач.	Медиана
15-21.07	5268.6 15.07.2023	7435.8 19.07.1992	6384.4	6406.7

Индоокеанский сектор (30°E-150°E, моря Космонавтов, Содружества, Моусона)

Месяц	Минимальное знач.	Максимальное знач.	Среднее знач.	Медиана
15-21.07	2822.7 15.07.2023	4158.7 21.07.2006	3524.4	3511.6

Тихоокеанский сектор (150°E-60°W, моря Росса, Беллинсгаузена)

Месяц	Минимальное знач.	Максимальное знач.	Среднее знач.	Медиана
15-21.07	5322.2 15.07.2023	7127.4 20.07.2013	6129.4	6111.2

Ледовитость, тыс. км²

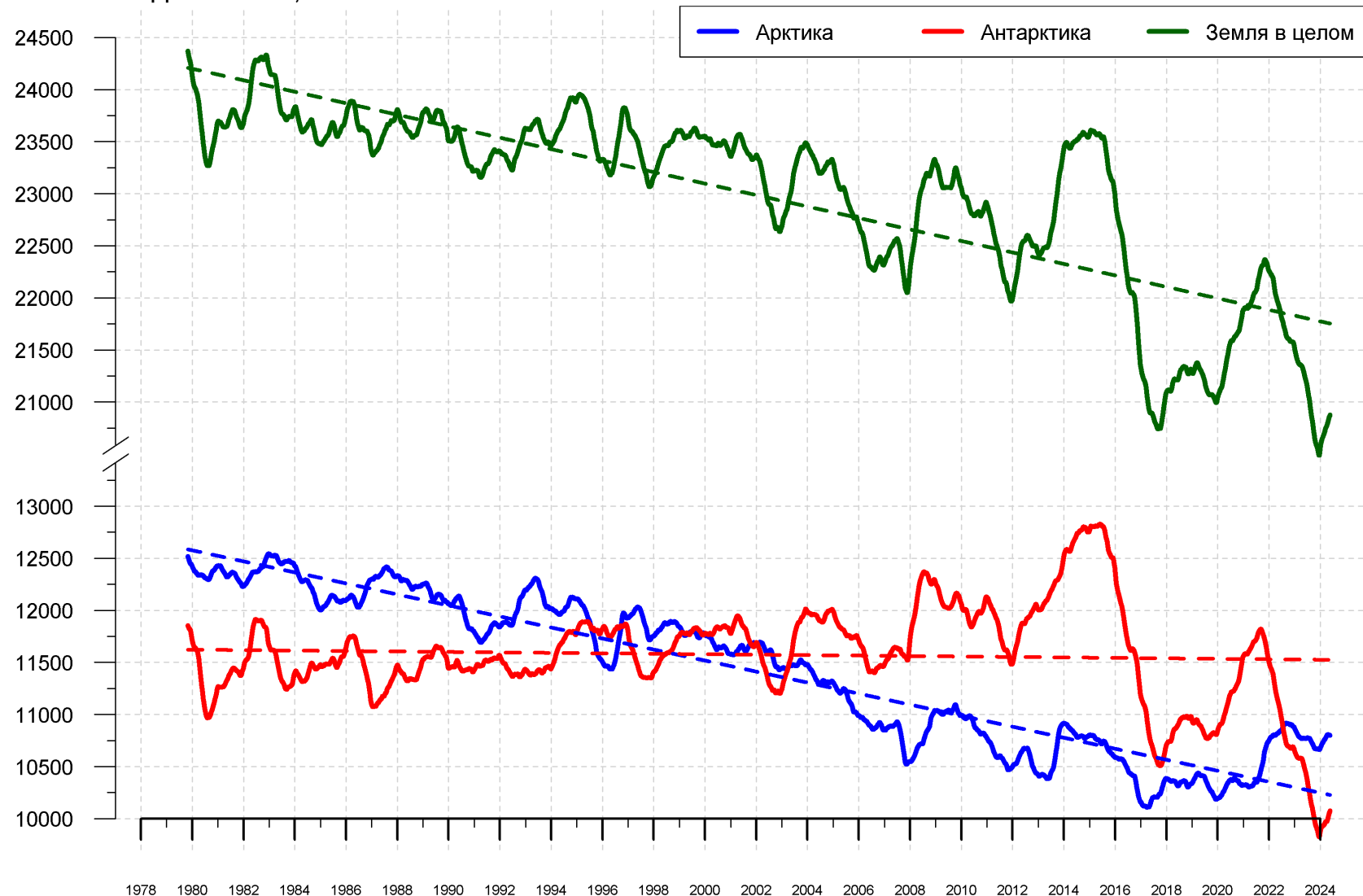


Рисунок 9 – Ежедневные сглаженные окном 365 суток значения ледовитости (площади распространения морского льда) Арктики, Антарктики и Земли в целом с 26.10.1978 по 23.07.2024 на основе SSMR-SSM/I-SSMIS

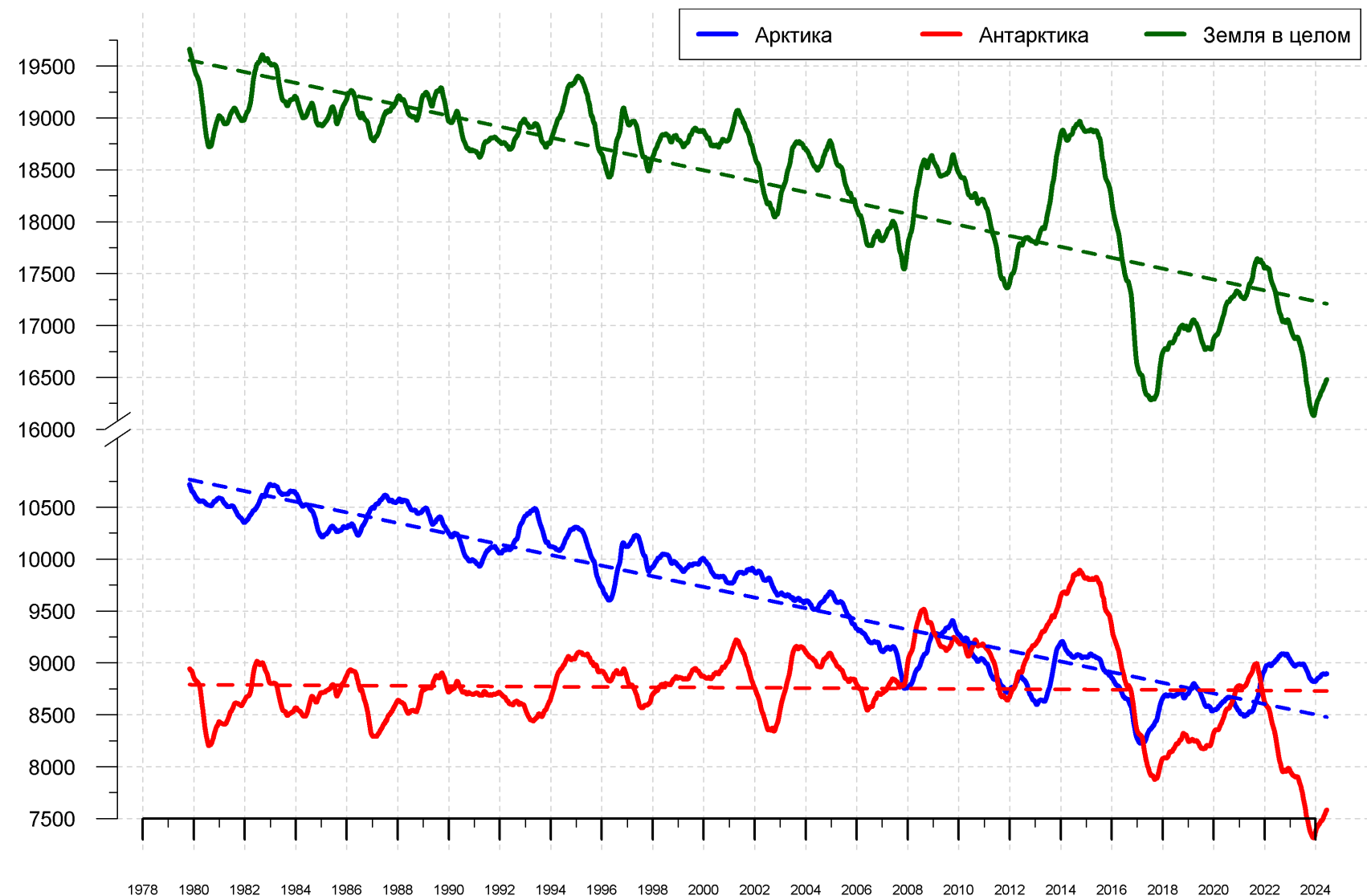


Рисунок 10 – Ежедневные сглаженные окном 365 суток значения приведенной ледовитости (площади морского льда) Арктики, Антарктики и Земли в целом с 25.10.1978 по 23.07.2024 на основе SSMR-SSM/I-SSMIS

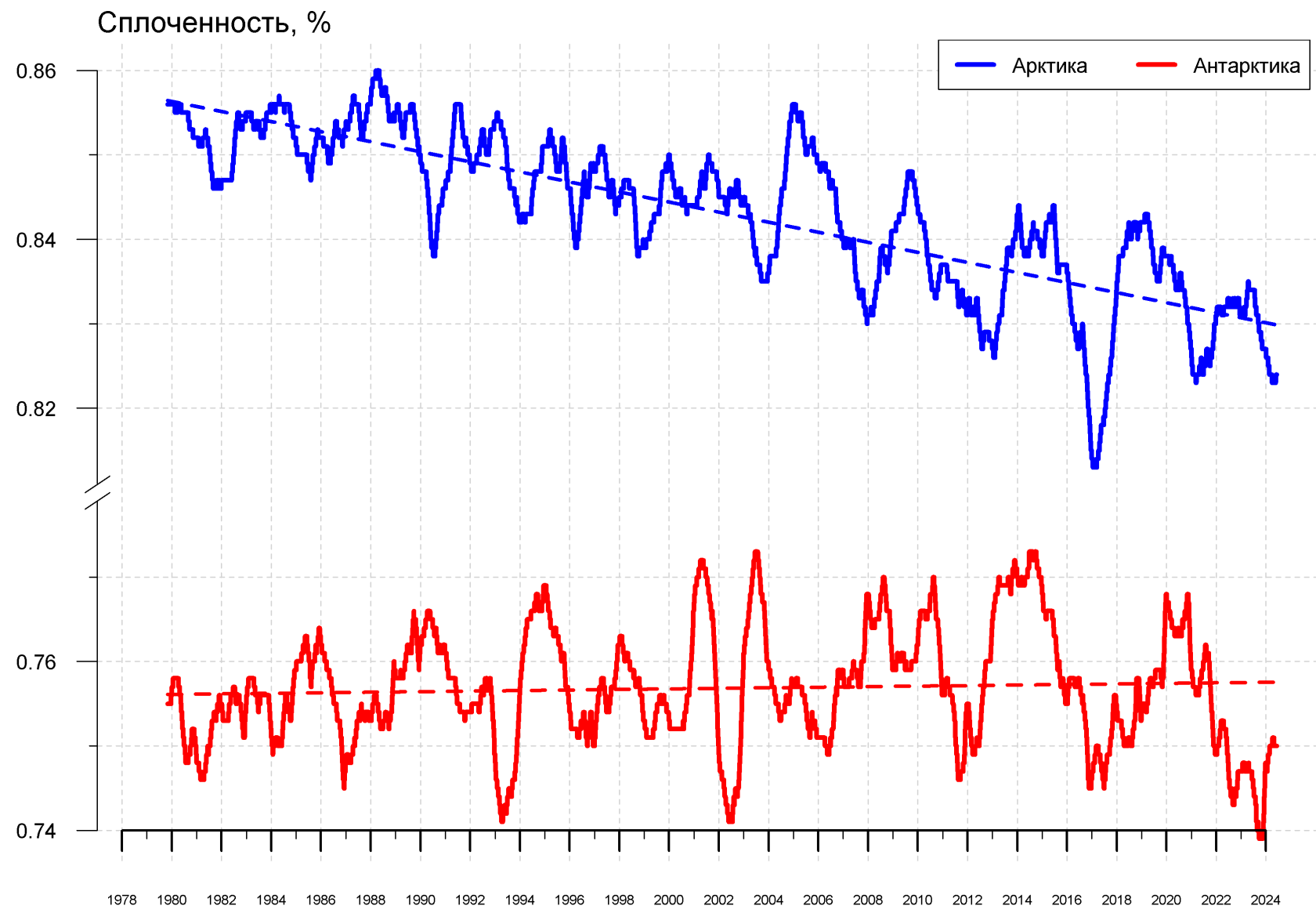


Рисунок 11 – Ежедневные сглаженные окном 365 суток значения средней общей сплоченности Арктики и Антарктики с 07.11.1978 по 23.07.2024 на основе SSMR-SSM/I-SSMIS

Приложение 1 – Статистические значения ледовитостей по отдельным акваториям Северной Полярной Области и Южного океана

Таблица 8 – Средние, аномалии среднего и экстремальные значения ледовитостей для Северной и Южной полярных областей и её отдельных акваторий за текущие 7-дневный (неделя) и 30-дневный промежутки времени по данным наблюдений SSMR-SSM/I-SSMIS, алгоритм NASATEAM за период 1978-2024 гг.

15-21.07

Регион	S, тыс. км ²	Аномалии, тыс км ² /%							1978-2024гг			
		2007 г	2012 г	2020 г	2022 г	2023 г	2014-2024гг	1978-2024гг	Минимум дата	Максимум дата	Среднее	Медиана
Сев. полярная область	7794.6	59.2	134.0	703.4	-449.7	-299.3	-7.8	-1108.4	6748.7	10868.3	8902.9	9047.7
		0.8	1.7	9.9	-5.5	-3.7	-0.1	-12.4	21.07.2020	15.07.1983		
Сектор 45°W- 95°E	1669.6	-235.1	25.8	137.1	159.9	-194.3	23.1	-436.4	1255.7	3040.2	2106.0	2068.0
		-12.3	1.6	8.9	10.6	-10.4	1.4	-20.7	21.07.2018	15.07.1981		
Гренландское море	355.9	-114.6	-131.9	-77.8	37.0	-54.0	-7.6	-108.4	220.4	752.6	464.3	465.9
		-24.4	-27.0	-17.9	11.6	-13.2	-2.1	-23.3	19.07.2021	16.07.1981		
Баренцево море	16.9	-72.6	-7.8	-42.5	-3.2	-78.7	-47.8	-164.5	6.3	531.1	181.4	147.4
		-81.1	-31.6	-71.5	-15.8	-82.3	-73.9	-90.7	21.07.2013	17.07.1982		
Карское море	293.9	-61.7	179.1	184.4	63.8	-54.4	44.8	-174.8	85.0	839.2	468.7	449.9
		-17.4	156.0	168.4	27.7	-15.6	18.0	-37.3	20.07.2012	15.07.1999		
Сектор 95°E- 170°W	2459.7	126.6	-231.2	533.4	-320.9	-167.6	-63.7	-437.9	1732.5	3312.6	2897.6	2986.3
		5.4	-8.6	27.7	-11.5	-6.4	-2.5	-15.1	21.07.2020	15.07.1987		
Море Лаптевых	148.4	-163.2	-141.3	120.3	-213.2	-218.1	-155.0	-331.8	11.6	671.7	480.2	532.7
		-52.4	-48.8	429.1	-59.0	-59.5	-51.1	-69.1	21.07.2020	15.07.1987		
Восточно- Сибирское море	605.4	83.9	-86.2	213.1	-144.0	20.0	-6.8	-163.4	261.4	915.1	768.8	813.3
		16.1	-12.5	54.3	-19.2	3.4	-1.1	-21.3	21.07.2020	15.07.1988		
Чукотское море	392.7	275.8	10.7	212.6	125.8	68.4	158.4	80.7	65.0	503.2	312.0	324.0
		235.9	2.8	118.0	47.1	21.1	67.6	25.9	21.07.2015	15.07.1983		
Берингово море	10.9	6.2	7.0	-5.1	-11.7	-7.2	-2.6	3.3	0.0	44.2	7.6	6.0
		134.9	181.9	-32.1	-51.7	-40.0	-19.3	43.8	20.07.2008	21.07.2022		
Сектор 170°W- 45°W	3665.3	167.6	339.3	32.8	-288.7	62.7	33.4	-233.9	3076.8	5034.2	3899.2	3898.4
		4.8	10.2	0.9	-7.3	1.7	0.9	-6.0	20.07.2011	15.07.1983		
Море Бафорта	234.3	-33.7	80.3	-149.0	-171.3	-11.9	-75.3	-111.8	88.2	486.6	346.1	368.9
		-12.6	52.2	-38.9	-42.2	-4.8	-24.3	-32.3	19.07.1998	15.07.2000		
Гудзонов залив	109.0	80.6	49.8	18.1	34.0	74.2	7.9	-38.9	11.7	602.1	147.9	117.3
		284.2	84.2	19.9	45.3	213.5	7.8	-26.3	18.07.2010	15.07.1992		
Море Лабрадор	11.0	7.3	1.3	5.4	2.7	5.0	0.8	0.7	0.0	84.6	10.3	7.8
		199.2	12.9	96.9	32.6	81.6	8.1	6.8	15.07.2001	15.07.1991		
Дейвисов пролив	127.8	-21.3	61.6	33.7	-53.7	1.3	-0.1	-29.3	21.9	313.9	157.1	156.9
		-14.3	93.0	35.8	-29.6	1.0	-0.1	-18.7	18.07.2011	17.07.1992		
Канадский архипелаг	753.4	-80.5	-63.0	-34.1	-140.4	4.4	-61.1	-144.1	708.3	1141.4	897.4	888.8
		-9.7	-7.7	-4.3	-15.7	0.6	-7.5	-16.1	21.07.2019	15.07.1983		

22.06-21.07

Регион	S, тыс. км2	Аномалии, тыс км2/%							1978-2024гг			
		2007 г	2012 г	2020 г	2022 г	2023 г	2014- 2024гг	1978- 2024гг	Минимум дата	Максимум дата	Среднее	Медиана
Сев. полярная область	9221.0	142.2 1.6	428.1 4.9	533.5 6.1	-37.5 -0.4	-9.3 -0.1	216.0 2.4	-741.5 -7.4	6748.7 21.07.2020	12401.9 22.06.1979	9962.5	10044.5
Сектор 45°W- 95°E	2125.5	-100.7 -4.5	282.1 15.3	244.0 13.0	313.0 17.3	13.5 0.6	156.1 7.9	-295.9 -12.2	1255.7 21.07.2018	3512.6 22.06.1981	2421.3	2452.5
Гренландское море	463.0	-86.9 -15.8	-140.3 -23.3	-57.4 -11.0	54.1 13.2	-50.2 -9.8	16.3 3.7	-85.1 -15.5	220.4 19.07.2021	865.8 24.06.1981	548.1	552.3
Баренцево море	89.5	-55.8 -38.4	50.0 127.0	-36.0 -28.7	36.7 69.5	-3.0 -3.3	-17.0 -16.0	-173.8 -66.0	5.7 06.07.2016	928.8 22.06.1979	263.3	224.6
Карское море	541.3	17.8 3.4	355.0 190.6	304.5 128.6	168.3 45.1	62.1 13.0	119.8 28.4	-57.1 -9.5	85.0 20.07.2012	839.2 22.06.1983	598.3	655.5
Сектор 95°E- 170°W	2899.6	128.0 4.6	-189.4 -6.1	396.6 15.8	-110.3 -3.7	-159.9 -5.2	12.9 0.4	-226.5 -7.2	1732.5 21.07.2020	3571.6 23.06.1994	3126.1	3200.8
Море Лаптевых	352.0	-96.7 -21.5	-139.0 -28.3	143.9 69.2	-124.7 -26.2	-170.1 -32.6	-83.0 -19.1	-202.2 -36.5	11.6 21.07.2020	674.3 22.06.1996	554.2	601.5
Восточно- Сибирское море	777.2	81.8 11.8	-39.3 -4.8	154.2 24.8	-52.6 -6.3	-3.6 -0.5	19.4 2.6	-63.2 -7.5	261.4 21.07.2020	915.1 22.06.1994	840.3	885.9
Чукотское море	454.8	210.9 86.5	18.5 4.2	144.3 46.5	150.0 49.2	35.8 8.5	137.2 43.2	72.9 19.1	65.0 21.07.2015	590.6 22.06.1985	381.9	390.8
Берингово море	20.4	6.4 46.2	7.0 51.9	-7.2 -26.1	-7.1 -25.7	-1.4 -6.6	1.3 6.8	1.8 9.5	0.0 01.07.1987	95.1 22.06.1996	18.6	8.4
Сектор 170°W- 45°W	4196.0	114.9 2.8	335.4 8.7	-107.1 -2.5	-240.2 -5.4	137.1 3.4	47.0 1.1	-219.1 -5.0	3076.8 20.07.2011	5740.7 22.06.1983	4415.1	4402.6
Море Бафорта	317.9	-46.0 -12.6	86.2 37.2	-114.7 -26.5	-117.1 -26.9	-5.8 -1.8	-32.6 -9.3	-67.2 -17.5	88.2 19.07.1998	486.6 22.06.1986	385.1	409.5
Гудзонов залив	205.1	-25.7 -11.1	-24.0 -10.5	-118.3 -36.6	-27.5 -11.8	94.4 85.2	-60.5 -22.8	-137.1 -40.1	11.7 18.07.2010	820.9 27.06.1992	342.1	335.0
Море Лабрадор	12.6	-6.7 -34.9	0.3 2.7	5.3 73.3	5.5 76.7	-1.4 -9.7	-1.9 -13.1	-10.6 -45.7	0.0 07.07.2000	177.3 22.06.1984	23.2	11.6
Дейвисов пролив	191.9	-5.2 -2.6	59.1 44.5	-10.2 -5.0	-41.3 -17.7	-2.5 -1.3	-1.0 -0.5	-19.6 -9.3	21.9 18.07.2011	406.1 29.06.1984	211.5	219.2
Канадский архипелаг	866.3	-54.8 -5.9	-58.5 -6.3	-62.0 -6.7	-102.7 -10.6	14.4 1.7	-54.8 -5.9	-120.4 -12.2	708.3 21.07.2019	1185.2 27.06.1979	986.7	986.6

15-21.07

Регион	S, тыс. км2	Аномалии, тыс км2/%							1978-2024гг			
		2007 г	2012 г	2020 г	2022 г	2023 г	2014- 2024гг	1978- 2024гг	Минимум дата	Максимум дата	Среднее	Медиана
Южный Океан	14277.3	-1803.1	-2127.9	-1400.7	-885.4	465.9	-1374.5	-1760.9	13413.4 15.07.2023	17374.3 21.07.2014	16038.2	16047.7
		-11.2	-13.0	-8.9	-5.8	3.4	-8.8	-11.0				
Атлантический сектор	5646.1	-1036.7	-971.8	-1078.9	-276.9	266.6	-613.2	-738.3	5268.6 15.07.2023	7435.8 19.07.1992	6384.4	6406.7
		-15.5	-14.7	-16.0	-4.7	5.0	-9.8	-11.6				
Западная часть моря Уэдделла	2641.2	-67.9	233.5	134.7	414.3	387.2	249.5	205.8	2113.6 21.07.1989	2962.7 17.07.1992	2435.4	2414.2
		-2.5	9.7	5.4	18.6	17.2	10.4	8.4				
Восточная часть моря Уэдделла	3004.9	-968.8	-1205.3	-1213.6	-691.2	-120.5	-862.7	-944.1	2902.6 15.07.2024	4683.1 21.07.2004	3949.0	3985.3
		-24.4	-28.6	-28.8	-18.7	-3.9	-22.3	-23.9				
Индоокеанский сектор	2958.1	-345.9	-748.6	-338.0	-372.7	21.4	-439.1	-566.3	2822.7 15.07.2023	4158.7 21.07.2006	3524.4	3511.6
		-10.5	-20.2	-10.3	-11.2	0.7	-12.9	-16.1				
Море Космонавтов	524.7	-284.1	-407.6	-198.3	-315.7	-128.6	-261.0	-311.3	426.7 21.07.2024	1271.6 20.07.2010	836.0	839.9
		-35.1	-43.7	-27.4	-37.6	-19.7	-33.2	-37.2				
Море Содружества	1103.3	-185.4	-4.8	-48.5	57.6	187.1	-16.1	-122.4	879.9 19.07.2023	1549.8 21.07.2001	1225.7	1233.4
		-14.4	-0.4	-4.2	5.5	20.4	-1.4	-10.0				
Море Моусона	1330.1	123.7	-336.3	-91.3	-114.6	-37.1	-162.0	-132.6	1081.3 17.07.2002	1806.1 17.07.1998	1462.7	1458.5
		10.3	-20.2	-6.4	-7.9	-2.7	-10.9	-9.1				
Тихоокеанский сектор	5673.1	-420.6	-407.5	16.1	-235.8	177.9	-322.3	-456.3	5322.2 15.07.2023	7127.4 20.07.2013	6129.4	6111.2
		-6.9	-6.7	0.3	-4.0	3.2	-5.4	-7.4				
Море Росса	4722.3	-447.9	-436.3	-182.2	-432.1	-134.4	-343.2	-394.8	4089.9 15.07.1980	5898.5 21.07.2013	5117.1	5110.1
		-8.7	-8.5	-3.7	-8.4	-2.8	-6.8	-7.7				
Море Беллинсгаузена	950.8	27.3	28.8	198.3	196.3	312.2	21.0	-61.5	405.1 21.07.2000	1499.3 21.07.1995	1012.3	969.9
		3.0	3.1	26.4	26.0	48.9	2.3	-6.1				

22.06-21.07

Регион	S, тыс. км2	Аномалии, тыс км2/%							1978-2024гг			
		2007 г	2012 г	2020 г	2022 г	2023 г	2014- 2024гг	1978- 2024гг	Минимум дата	Максимум дата	Среднее	Медиана
Южный Океан	13519.8	-1638.3 -10.8	-1951.0 -12.6	-1391.5 -9.3	-591.7 -4.2	833.1 6.6	-1244.6 -8.4	-1617.9 -10.7	11546.7 22.06.2023	17374.3 21.07.2014	15137.8	15196.1
Атлантический сектор	5429.0	-728.6 -11.8	-750.9 -12.2	-864.4 -13.7	52.4 1.0	596.3 12.3	-436.9 -7.4	-573.1 -9.5	4217.0 22.06.2023	7435.8 19.07.1992	6002.1	6024.4
Западная часть моря Уэдделла	2643.2	119.5 4.7	271.8 11.5	193.6 7.9	435.2 19.7	441.9 20.1	282.8 12.0	264.2 11.1	1970.2 22.06.1999	2962.7 17.07.1992	2379.0	2362.6
Восточная часть моря Уэдделла	2785.8	-848.1 -23.3	-1022.7 -26.9	-1058.0 -27.5	-382.7 -12.1	154.4 5.9	-719.7 -20.5	-837.3 -23.1	2131.3 25.06.2023	4683.1 21.07.2004	3623.0	3649.1
Индоокеанский сектор	2740.1	-462.2 -14.4	-680.5 -19.9	-333.9 -10.9	-340.5 -11.1	196.9 7.7	-382.6 -12.3	-504.7 -15.6	2164.7 22.06.2023	4158.7 21.07.2006	3244.8	3252.2
Море Космонавтов	526.8	-170.8 -24.5	-318.6 -37.7	-129.4 -19.7	-152.9 -22.5	38.0 7.8	-142.0 -21.2	-186.3 -26.1	306.0 23.06.2003	1271.6 20.07.2010	713.1	704.3
Море Содружества	909.2	-307.2 -25.3	-138.3 -13.2	-135.4 -13.0	-128.7 -12.4	122.7 15.6	-122.2 -11.8	-224.7 -19.8	634.8 22.06.2023	1549.8 21.07.2001	1133.9	1144.2
Море Моусона	1304.0	15.9 1.2	-223.7 -14.6	-69.1 -5.0	-58.9 -4.3	36.2 2.9	-118.4 -8.3	-93.8 -6.7	1032.2 27.06.1987	1806.1 17.07.1998	1397.8	1396.5
Тихоокеанский сектор	5350.8	-447.5 -7.7	-519.6 -8.9	-193.1 -3.5	-303.5 -5.4	39.8 0.8	-425.1 -7.4	-540.1 -9.2	4660.5 22.06.2017	7127.4 20.07.2013	5890.9	5898.3
Море Росса	4443.7	-544.3 -10.9	-465.9 -9.5	-440.6 -9.0	-525.7 -10.6	-262.7 -5.6	-481.2 -9.8	-512.7 -10.3	3570.8 22.06.1980	5898.5 21.07.2013	4956.4	4973.4
Море Беллинсгаузена	907.0	96.8 12.0	-53.7 -5.6	247.5 37.5	222.2 32.4	302.6 50.1	56.0 6.6	-27.5 -2.9	356.0 30.06.1998	1499.3 21.07.1995	934.5	921.5

Таблица 10 – Динамика изменения значений ледовитости по сравнению с предыдущей неделей для морей Северной полярной области и Южного океана за текущий 7-дневный (неделя) промежуток времени по данным наблюдений SSMIS

15-21.07				
Регион	Сев. полярная область	Сектор 45°W-95°E	Гренландское море	Баренцево море
Разность	-937.6	-273.6	-89.1	-19.0
тыс.кв.км/ сут.	-133.9	-39.1	-12.7	-2.7
15-21.07				
Регион	Карское море	Сектор 95°E-170°W	Море Лаптевых	Восточно-Сибирское море
Разность	-156.2	-270.5	-75.9	-166.1
тыс.кв.км/ сут.	-22.3	-38.6	-10.8	-23.7
15-21.07				
Регион	Чукотское море	Берингово море	Сектор 170°W-45°W	Море Бофорта
Разность	-41.7	-4.2	-393.5	-74.4
тыс.кв.км/ сут.	-6.0	-0.6	-56.2	-10.6
15-21.07				
Регион	Гудзонов залив	Море Лабрадор	Дейвисов пролив	Канадский архипелаг
Разность	-50.9	-4.1	-37.0	-103.7
тыс.кв.км/ сут.	-7.3	-0.6	-5.3	-14.8
15-21.07				
Регион	Южный Океан	Атлантический сектор	Западная часть моря Уэдделла	Восточная часть моря Уэдделла
Разность	271.8	23.1	-28.2	51.3
тыс.кв.км/ сут.	38.8	3.3	-4.0	7.3
15-21.07				
Регион	Индоокеанский сектор	Море Космонавтов	Море Содружества	Море Моусона
Разность	51.2	-37.5	152.1	-63.4
тыс.кв.км/ сут.	7.3	-5.4	21.7	-9.1
15-21.07				
Регион	Тихоокеанский сектор	Море Росса	Море Беллинсгаузена	
Разность	197.5	171.8	25.7	
тыс.кв.км/ сут.	28.2	24.5	3.7	

Характеристика исходного материала и методика расчетов

Для иллюстрации ледовых условий Арктического региона представлены совмещенные региональные карты ААНИИ [4, 6], Канадской ледовой службы – КЛС [12], Национального ледового центра США – НЛЦ [10], Ледовой службы отделения Аляска НОАА [23] и НИЦ Планета [9]. Совмещение карт выполнено путем перекрытия слоев отдельных ледовых служб в зависимости от времени ледового анализа. Карты ААНИИ характеризуют ледовые условия морей Гренландского...Бофорта, карты НИЦ Планета – Азовского, Каспийского, Берингова, Охотского, Японского, карты НЛЦ – Северных частей Тихого и Атлантического океанов и Арктического бассейна, вод Гренландии, Ледовой службы отделения Аляска НОАА – Берингово, Чукотское моря, КЛС - морей Бофорта, Канадского архипелага, Баффина, Девисова пролива, Лабрадор, Св. Лаврентия. Для ледовых условий и распределения айсбергов Южного океана использованы данные проекта по интегрированному ледовому анализу Южного океана – циркумполлярные карты ААНИИ [5, 7], НЛЦ [10, 11] и карты акватории Антарктического полуострова Норвежского метеорологического института (НМИ) [21]. Для построения совмещенных карт используется архив данных в обменном формате ВМО СИГРИД-3 [18] Мирового центра данных по морскому льду (МЦД МЛ) – проекта ВМО «Глобальный Банк Цифровых Данных по Морскому Льду». В пределах отдельного срока выборка карт из архива проводится по критериям близости карт к сроку выпуска карты ААНИИ с максимальным интервалом времени между картами до 7 суток (день недели выпуска карт ААНИИ – вторник, Ледовой службы отделения Аляска НОАА – ежедневно, НИЦ Планета – понедельник-четверг, КЛС – понедельник, НЛЦ – четверг для морского льда и четверг/пятница – для крупных айсбергов Южного океана, НМИ - понедельник).

Для иллюстрации полей толщин льда СЛО использованы ежедневные данные по распределению средневзвешенной толщины льда численной модели HYCOM-CICE Датского метеорологического института (ДМИ) [20]. Численная модель HYCOM-CICE имеет разрешение 10x10 км и является совместной моделью морского льда – океана. Портал полярных данных ДМИ [22] используется также как источник данных по оценке объема льда СЛО, температуры поверхности океана/морского льда, аномалий температуры воздуха и поля приземного ветра.

Для иллюстрации ледовых условий Северной Полярной области и Южного океана за последние сутки используются ежедневные циркумполлярные ледовые информационные продукты НЛЦ США по оценке расположения кромки льда и ледяных массивов - MIZ (Marginal Ice Zone).

Для цветовой окраски карт использован стандарт ВМО (WMO/Td. 1215) [19] для зимнего (по возрасту) и летнего (по общей сплошности) периодов. Следует также отметить, что в зонах стыковки карт ААНИИ, Ледовой службы отделения Аляска НОАА, КЛС и НЛЦ наблюдается определенная несогласованность границ и характеристик ледовых зон вследствие ряда различий в ледовых информационных системах подготавливающих служб. Однако, данная несогласованность несущественна для целей интерпретации ледовых условий в рамках настоящего обзора.

Для оценки распределения толщин льда в морях СМП использованы совмещенные недельные данные дистанционного зондирования ИСЗ Cryosat-2 (радиолокационная альтиметрия) и SMOS (пассивное микроволновое зондирование), подготавливаемые Институтом полярных исследований им. А.Вегенера (AWI) [24].

Для получения оценок ледовитости (extent) и приведенной ледовитости – площади льда (area) отдельных секторов, морей, частей морей Северной Полярной области и Южного океана и климатического положения кромок заданной повторяемости на основе данных спутниковых систем пассивного микроволнового зондирования SSMR-SSM/I-SSMIS [17] в МЦД МЛ ААНИИ принята следующая технология расчетов:

- источник данных – архивные (Cavalieri et al., 2008, Meier et al., 2006) и квазиоперативные (Maslanik and Stroeve, 1999) с задержкой 1-2 дня ежедневные матрицы (поля распределения) оценок общей сплошности Северной (севернее 45° с.ш.) и Южной (южнее 50° с.ш.) Полярных областей на основе обработанных по алгоритму NASATEAM

данных многоканальных микроволновых радиометров SSMR-SSM/I-SSMIS ИСЗ NIMBUS-7 и DMSP за период с 26.10.1978 г. по настоящий момент времени [13, 14, 15], копируемые с сервера НЦДСЛ;

- область расчета – Северная и Южная Полярные области и их регионы с использованием масок океан/суша НЦДСЛ (http://nsidc.org/data/polar_stereo/tools_masks.html);
- границы используемых масок расчета отдельных меридиональных секторов, морей, частей морей Северной полярной области и Южного океана представлены на рисунках П1 – П6 в полярной равноплощадной проекции Ламберта [26], не совпадают с используемыми в НЦДСЛ масками для отдельных акваторий Мирового океана и основаны на цифровой основе Международной гидрографической организации [25], повторяющей по номенклатуре, но не совпадающей по границам (вследствие отсутствия цифроосновы) публикациям «Атлас Северного ледовитого океана (1980)» и «Атлас океанов» [1, 2, 3].
- вычислительные особенности расчета – авторское программное обеспечение ААНИИ с сохранением точности расчетов и оценке статистических параметров по гистограмме распределения и свободно-распространяемое программное обеспечение GDAL для векторизации полей климатических параметров;

В графическом формате PNG совмещенные карты ААНИИ-КЛС-НЛЦ Ледовой службы отделения Аляска NOAA доступны по адресу <http://wdc.aari.ru/datasets/d0040>.

Результаты расчетов ледовитости Северной, Южной полярных областей, их отдельных меридиональных секторов, морей и частей морей доступны на сервере МЦД МЛ ААНИИ в каталогах соответственно <http://wdc.aari.ru/datasets/ssmi/data/north/extent/> и <http://wdc.aari.ru/datasets/ssmi/data/south/extent/>.

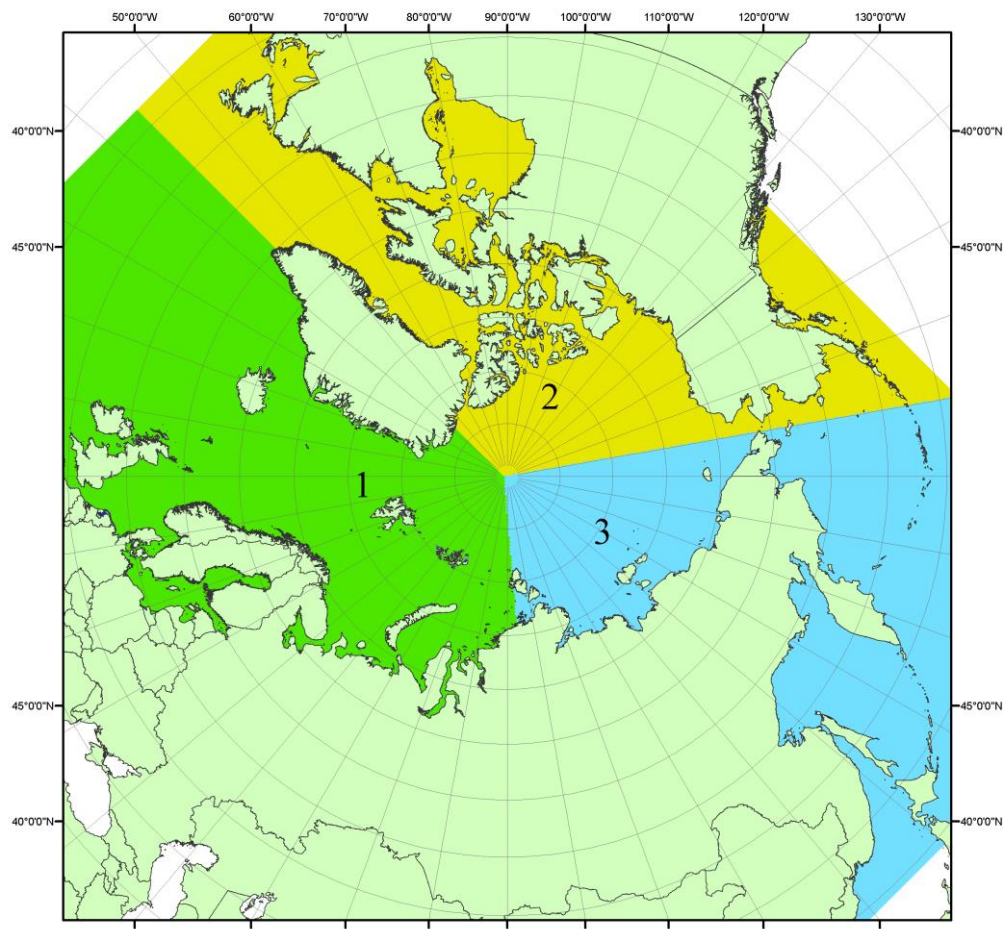


Рисунок П1 – Секторальное деление северной полярной области. 1 - Сектор 45°W-95°E (Гренландское - Карское моря); 2 - Сектор 170°W-45°W (море Бофорта и Канадская Арктика); 3 - Сектор 95°E-170°W (моря Лаптевых - Чукотское, Берингово, Охотское, Японское)

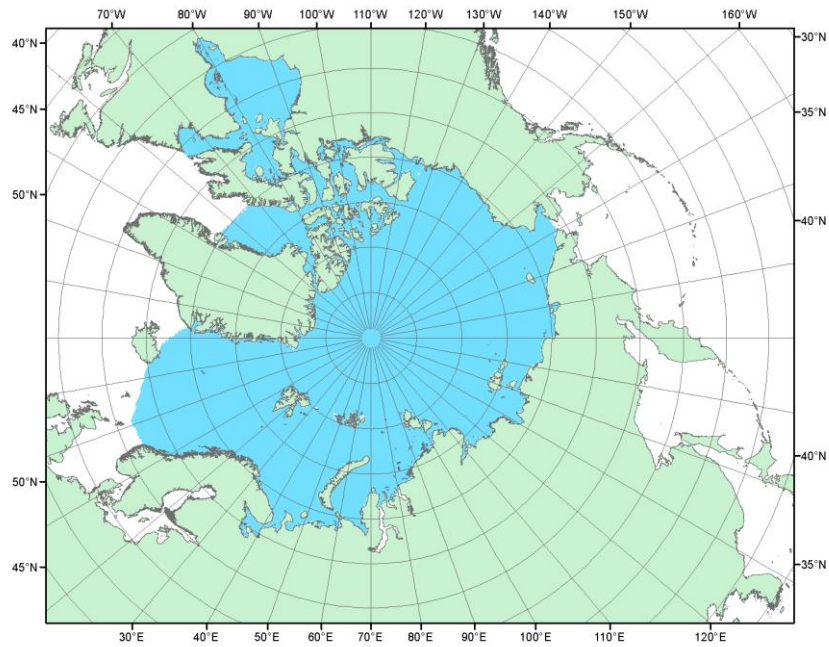


Рисунок П2 – Северный ледовитый океан в официальных границах

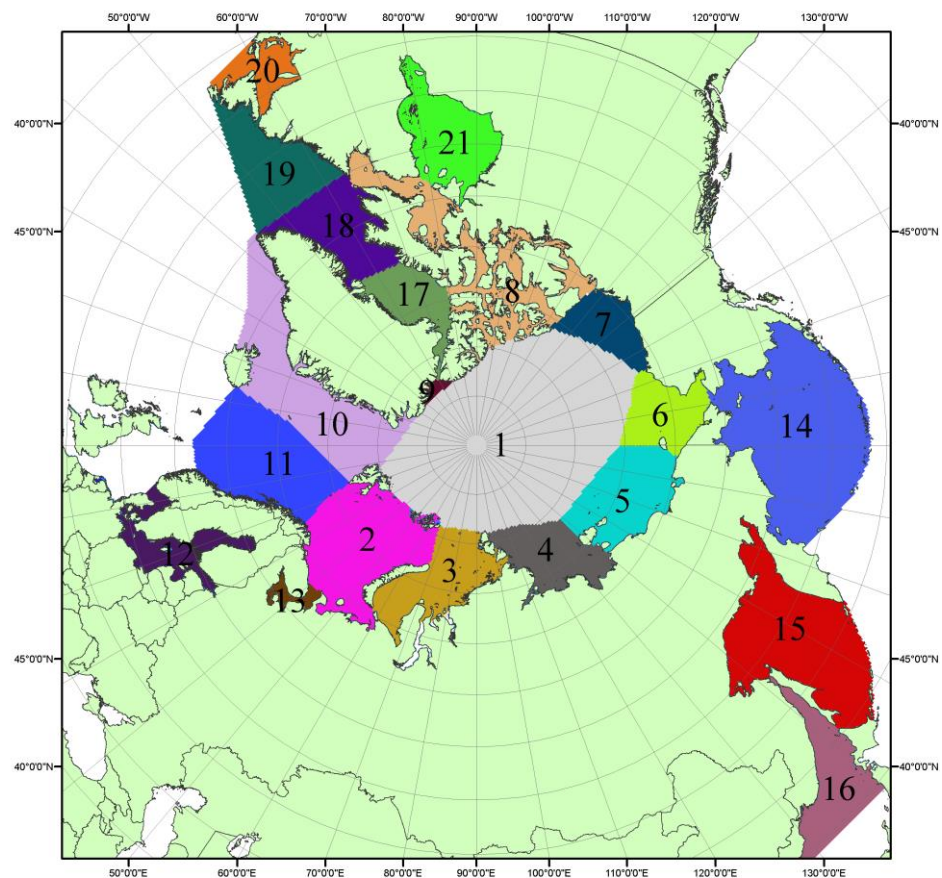


Рисунок П3 – Моря северной полярной области. 1 – Арктический бассейн; 2- Баренцево море; 3 – Карское море; 4 – море Лаптевых; 5 - Восточно-Сибирское море; 6 – Чукотское море; 7 – море Бофорта; 8 – Канадский архипелаг; 9 – море Линкольна; 10 – Гренландское море; 11 – Норвежское море; 12 – Балтийское море; 13 – Белое море; 14 – Берингово море; 15 – Охотское море; 16 – Японское море; 17 – море Баффина; 18 – Дейвисов пролив; 19 – море Лабрадор; 20 – залив Святого Лаврентия; 21 – Гудзонов залив.

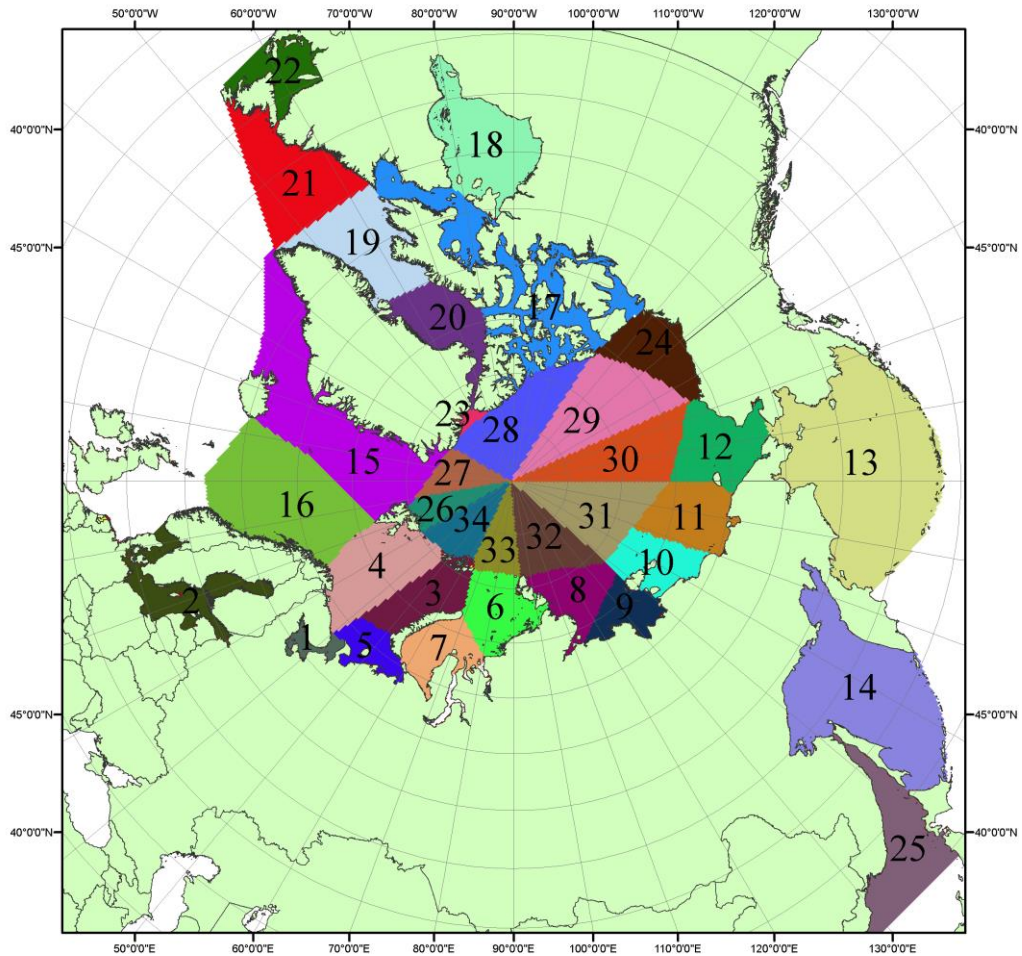


Рисунок П4 – Сектора и моря северной полярной области. 1 - Белое море; 2 - Балтийское море; 3 – Баренцево море (СВ); 4 – Баренцево море (3); 5 - Баренцево море (ЮВ); 6 – Карское море (СВ); 7 – Карское море (ЮЗ); 8 – море Лаптевых (В); 9 – море Лаптевых (3); 10 – Восточно-Сибирское море (3); 11 – Восточно-Сибирское море (В); 12 –Чукотское море; 13 –Берингово море; 14 – Охотское море; 15 –Гренландское море; 16 – Норвежское море; 17 – Канадский архипелаг; 18 – Гудзонов залив; 19 –Дейвисов пролив; 20 - море Баффина; 21 –море Лабрадор; 22 - залив Святого Лаврентия; 23 - море Линкольна; 24 - море Бофорта; 25 - Японское море; 26 - сектор АО (30° з.д. – 10° в.д.); 27 – сектор АО (10° в.д. – 30° в.д.); 28 - сектор АО (30° в.д. – 65° в.д.); 29 - сектор АО (65° в.д. – 96° в.д.); 30 - сектор АО (96° в.д. – 140° в.д.); 31 - сектор АО (140° в.д. – 180° в.д.); 32 - сектор АО (180° в.д. – 156° з.д.); 33 - сектор АО (156° з.д. – 123° з.д.); 34 - сектор АО (123° з.д. – 30° з.д.).

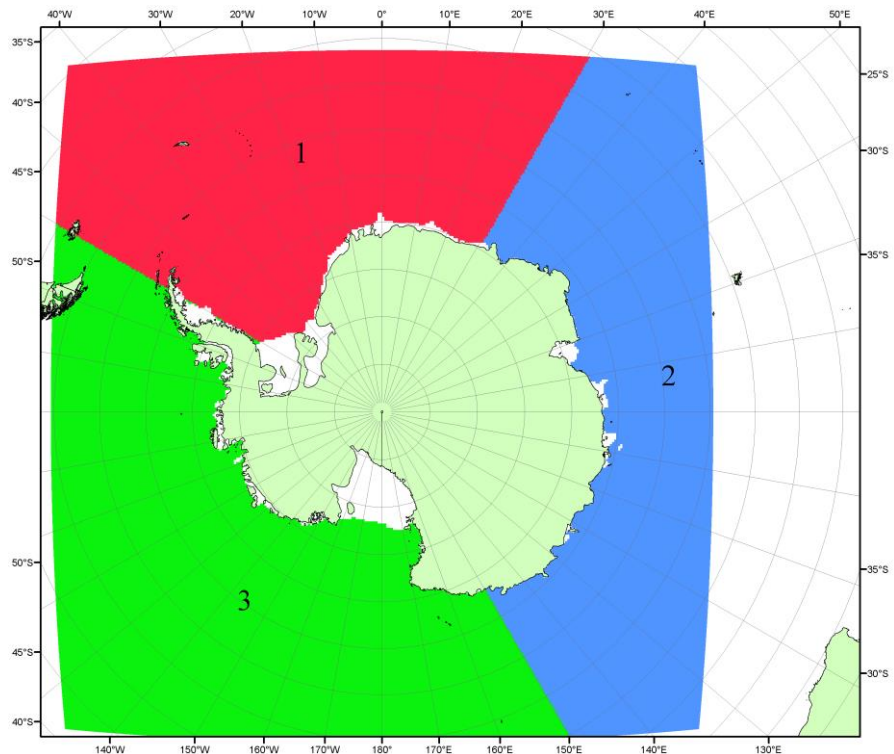


Рисунок П5 – Секторальное деление Южного океана. 1 - Атлантический сектор (60°W - 30°E , море Уэдделла); 2 - Индоокеанский сектор (30°E - 150°E , моря Космонавтов, Содружества, Моусона); 3 - Тихоокеанский сектор (150°E - 60°W , моря Росса, Беллинсгаузена)

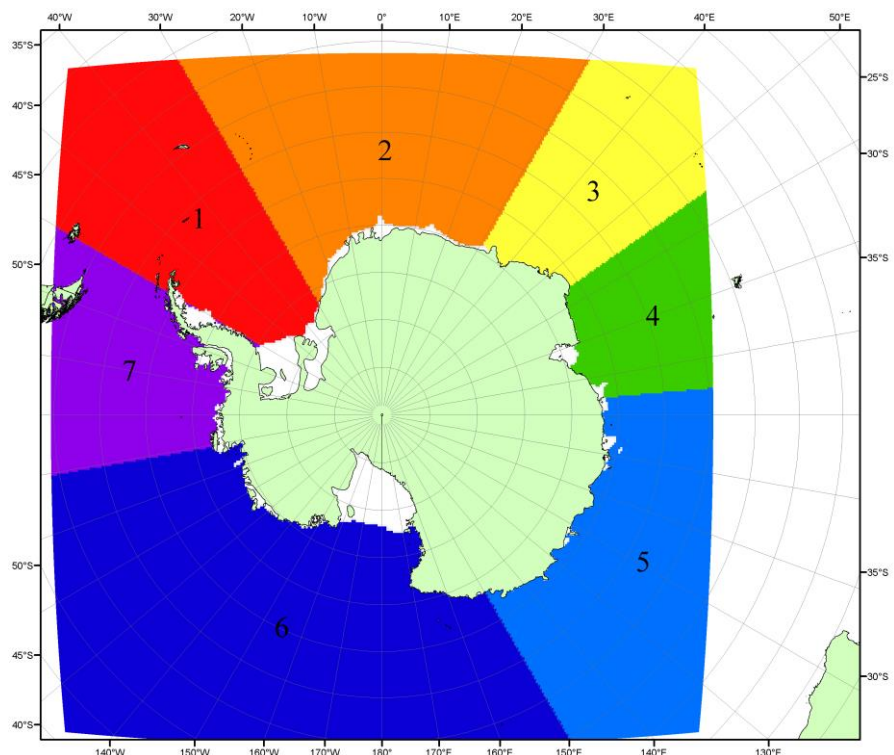


Рисунок П6 – Моря Южного океана. 1 – Западная часть моря Уэдделла; 2- Восточная часть моря Уэдделла; 3 – Море Космонавтов; 4 – море Содружества; 5 – море Моусона; 6 – море Росса; 7 – Море Беллинсгаузена.

Список источников

1. Атлас океанов. Северный Ледовитый океан. – 1980. М: Изд. ГУНИО МО СССР ВМФ – 184 с.
2. Атлас океанов. Термины. Понятия. Справочные таблицы. - Изд. ВМФ МО СССР.-1980.
3. Границы океанов и морей. – 1960. Л.: Изд. ГУНИО ВМФ. – 51 с.
4. Обзорные ледовые карты ФГБУ «ААНИИ» Северного Ледовитого океана за 2008-2018 гг. в обменном формате ВМО СИГРИД-3 // Мировой центр данных по морскому льду - Глобальный банк данных по морскому льду – <http://wdc.aari.ru/datasets/d0015>.
5. Комплексные ледовые карты ФГБУ «ААНИИ» Южного океана за 2014-2018 гг. в обменном формате ВМО СИГРИД-3 // Мировой центр данных по морскому льду - Глобальный банк данных по морскому льду – <http://wdc.aari.ru/datasets/d0015>.
6. Комплексные ледовые карты ФГБУ «ААНИИ» арктических и замерзающих морей России за 1997-2018 гг. в обменном формате ВМО СИГРИД-3 // Мировой центр данных по морскому льду - Глобальный банк данных по морскому льду – <http://wdc.aari.ru/datasets/d0004>.
7. Карты ФГБУ «ААНИИ» анализа крупных айсбергов Южного океана за 2014-2018 гг. в обменном формате ВМО СИГРИД-3 // Мировой центр данных по морскому льду - Глобальный банк данных по морскому льду – <http://wdc.aari.ru/datasets/d0015>.
8. Комплексные ледовые карты ФГБУ «Гидрометцентр России» Азовского, Каспийского и Белого морей за 2000-2017 гг. в обменном формате ВМО СИГРИД-3 // Мировой центр данных по морскому льду - Глобальный банк данных по морскому льду – <http://wdc.aari.ru/datasets/d0033>.
9. Комплексные ледовые карты ФГБУ «НИЦ Планета» Азовского, Каспийского, Берингова, Охотского и Японского морей за 2016-2018 гг. в обменном формате ВМО СИГРИД-3 // Мировой центр данных по морскому льду - Глобальный банк данных по морскому льду – <http://wdc.aari.ru/datasets/d0034>.
10. Комплексные ледовые карты Северной полярной области и Южного океана Национального ледового центра США за 2003-2018 гг. в обменном формате ВМО СИГРИД-3 // Мировой центр данных по морскому льду - Глобальный банк данных по морскому льду – <http://wdc.aari.ru/datasets/d0032>.
11. Карты анализа крупных айсбергов Южного океана Национального ледового центра США за 2014-2018 гг. в обменном формате ВМО СИГРИД-3 // Мировой центр данных по морскому льду - Глобальный банк данных по морскому льду – <http://wdc.aari.ru/datasets/d0032>.
12. Комплексные ледовые карты Канадской Арктики Канадской ледовой службы за 2006-2018 гг. в обменном формате ВМО СИГРИД-3 // Мировой центр данных по морскому льду - Глобальный банк данных по морскому льду – <http://wdc.aari.ru/datasets/d0031>.
13. Cavalieri, D., C. Parkinson, P. Gloersen, and H. J. Zwally. 1996, updated 2008. *Sea Ice Concentrations from Nimbus-7 SMMR and DMSP SSM/I Passive Microwave Data*, [1978.10.26 – 2007.12.31]. Boulder, Colorado USA: National Snow and Ice Data Center. Digital media.
14. Meier, W., F. Fetterer, K. Knowles, M. Savoie, M. J. Brodzik. 2006, updated quarterly. *Sea Ice Concentrations from Nimbus-7 SMMR and DMSP SSM/I Passive Microwave Data*, [2008.01.01 – 2008.03.25]. Boulder, Colorado USA: National Snow and Ice Data Center. Digital media.
15. Maslanik, J., and J. Stroeve. 1999, updated daily. *Near-Real-Time DMSP SSM/I-SSMIS Daily Polar Gridded Sea Ice Concentrations*, [2008.03.26 – present moment]. Boulder, Colorado USA: National Snow and Ice Data Center. Digital media.
16. Andersen, S., R. Tonboe, L. Kaleschke, G. Heygster, and L. T. Pedersen, Intercomparison of passive microwave sea ice concentration retrievals over the high-concentration Arctic sea ice.// *J. Geophys. Res.* – 2007. – Vol. 112. C08004, doi:10.1029/2006JC003543.
17. Статистические характеристики сплошности морского льда Северной полярной области и Южного океана на основе данных наблюдений SSMR-SSM/I-SSMIS, алгоритм NASATEAM // Мировой центр данных по морскому льду - Глобальный банк данных по морскому льду – <http://wdc.aari.ru/datasets/ssmi>.
18. SIGRID-3: A vector archive format for Sea Ice Georeferenced Information and Data - JCOMM Technical Report Series No. 23, 2014, WMO/TD-No.1214.

19. Ice Chart Colour Code Standard. - JCOMM Technical Report Series No. 24, 2004, WMO/TD-No.1215.
(http://jcomm.info/index.php?option=com_oe&task=viewDocumentRecord&docID=4914)
20. Danish Meteorological Institute North Atlantic - Arctic Ocean model HYCOM-CICE - <http://ocean.dmi.dk/models/hycom.uk.php>
21. Портал данных ледового анализа Южного океана Норвежского метеорологического института - <http://polarview.met.no/Antarctic.html>
22. Портал полярных данных Датского метеорологического института - <http://polarportal.dk>
23. Комплексные ледовые карты Берингова и чукотского морей Ледовой службы отделения NOAA Аляска в обменном формате ВМО СИГРИД-3 // <https://www.weather.gov/>.
24. AWI CryoSat-SMOS Merged Sea Ice Thickness - <https://spaces.awi.de/display/CS2SMOS/CryoSat-SMOS+Merged+Sea+Ice+Thickness>
25. Flanders Marine Institute (2018). IHO Sea Areas, version 3. Available online at URL: <http://www.marineregions.org/> (дата обращения 08.04.2023).
26. Полярная равноплощадная проекция Ламберта. URL: <https://epsg.io/3576> (дата обращения 07.04.2023).